



## Convection initiation

Zahra Ghassabi<sup>1</sup> | Houshang Ghaemi<sup>2</sup> | Ebrahim Mirzaei<sup>3</sup>✉

- Assistant Professor of Meteorology, Research Institute of Meteorology and Atmosphere Science, Tehran, Iran, **E-mail:** [z.ghassabi@gmail.com](mailto:z.ghassabi@gmail.com)
- Meteorology, Meteorological Organization, Tehran, Iran . **E-mail:** [houshangghaemi@gmail.com](mailto:houshangghaemi@gmail.com)
- Corresponding author, Department of Meteorology, Tehran University, Tehran, Iran. **E-mail:** [emirzaei@gmail.com](mailto:emirzaei@gmail.com)

Article Info	ABSTRACT
<b>Article type:</b> Review Article	The structure of deep moist convection can be influenced by various factors, including wind shear, available potential energy of convection, relative humidity, and vertical distribution of these variables. Among these factors, wind shear plays a more significant role in the creation of convection. The interaction between large-scale and synoptic-scale processes, along with the adjustment of available potential energy for convection and the presence of convection inhibitors, creates conditions suitable for the development of convection. The large-scale average reduces the convection inhibitor, while even small vertical velocities, such as a few centimeters per second, can have a noticeable impact on the environment's sounding. The presence of potential instability is also considered an important factor in initiating deep moist convection. When the temperature reaches the critical point and the convection inhibitor is removed, moist deep convection begins. If an air parcel rises above the lower stable layer with low relative convective inhibition energy and high relative free convective potential energy, it supports the development of deep moist convection. The initiation of updrafts by warm air masses and the subsequent development of convection depend on parameters like vertical wind shear and the inversion cap of the environment, among others. Large-scale convective systems can be triggered with less forcing due to the significant uplift of the air mass from the surface to the convection level along the front.
<b>Article history:</b> Received 2022/05/28 Received in revised 2022/13/09 Accepted 2022/09/14 Pre-Published 2022/09/15 Published online 2025/03/21	
<b>Keywords:</b> Deep moist convection, convection initiation, potential energy of convection, convection inhibition	

**Cite this article:** Ghassabi, Zahra., Ghaemi, Houshang., & Mirzaei, Ebrahim. (2025). Convection initiation. *Applied Researches in Geographical Sciences*, 76 (25), 458-494. DOI: <http://dx.doi.org/10.61186/jgs.25.76.16>



© The Author(s). Publisher: Kharazmi University

DOI: <http://dx.doi.org/10.61186/jgs.25.76.16>



## Extended Abstract

### Introduction

The initiation of deep moist convection (DMC), which will be referred to as convection initiation, requires air parcels to reach their level of free convection (LFC) and remain positively buoyant during a substantial vertical ascent. Therefore, convective available potential energy (CAPE) is a necessary, though not sufficient, condition for convection initiation. Failures in warm season weather forecasts often occur due to the inability to anticipate the initiation of DMC or the incorrect forecasting of DMC that does not materialize. Arguably, the skill in convection initiation forecasting has progressed at a slower pace compared to our ability to anticipate convective storm type, organization, and associated severe weather hazards. Convective storms can be initiated by orographic circulations resulting from the heating of elevated or sloped terrain, as well as forced lifting caused by ducted gravity waves. While the process of reaching the LFC is inherently a mesoscale process, the large-scale environment plays a role by modifying the CAPE and CIN, partly through changes in the lapse rate. It is worth noting that significant modifications to the CAPE and CIN can occur even with modest or absent changes in the tropospheric lapse rate. Although convection often initiates along easily identifiable air mass boundaries in the presence of CAPE and low CIN, particularly when large-scale ascent is also present (which reduces CIN as mentioned earlier), convection initiation forecasting is complicated by various mesoscale processes.

### Material and Methods

In this research, convection initiation has been examined based on library studies as well as field research.

### Results and Discussion

It seems likely that kinematic inhomogeneities along air mass boundaries play a role in favoring some segments of a boundary over others. Small-scale (<4km diameter) vertical vortices, sometimes called misocyclones, have also been identified in close proximity to many growing cumulonimbi. Such vortices, which are naturally favored along wind shift lines owing to the dynamical instability associated with the horizontal shear of the wind, enhance convergence along some segments of an air mass boundary, usually between vortices, while weakening convergence along other segments, usually within the cores of the vortices. It seems plausible that thermodynamic inhomogeneities encountered by an air mass boundary may favor or preclude convection initiation along select segments of the boundary. The episodes of convection initiation 'failure' that are probably least understood are when parcels surpass their LFC yet still fail to develop into sustained, precipitating DMC. It is difficult to know to what extent processes within the boundary layer versus above the boundary layer contribute to this failure mode. DMC would commence when the convective temperature is reached or when the CIN is eliminated. DMC is initiated despite nearby soundings indicating that significant CIN remains. Convection initiation is not as simple as



reaching the convective temperature or eliminating CIN, although reducing CIN is certainly one aspect of creating an environment favorable for convection initiation. Even if parcels do reach their LFC, they still must survive the effects of entrainment in a potentially hostile environment above the LFC in order to develop DMC.

## Conclusion

Convection is initiated when the Convective Inhibition (CIN) becomes smaller than the kinetic energy of the boundary layer updraft, which acts as the forcing mechanism. Convection initiation is a complex process that goes beyond reaching the convective temperature. It involves various mesoscale and cloud-scale circulations that are typically unresolved, mixing rates, humidity along ascending plumes, and the three-dimensional structure of these plumes. Moisture convergence is closely related to horizontal velocity convergence, which is linked to upward motion. Therefore, moisture convergence is associated with the deepening of moisture in the boundary layer. This deepening of moisture reduces the dilution of rising parcels as they ascend from the surface to the Lifted Condensation Level (LCL) and Level of Free Convection (LFC). Consequently, regions with locally deeper moisture may be more favorable for convection initiation compared to surrounding areas. Local moisture maxima are generated by horizontal differences in the vertical advection of water vapor. Surface-based convection necessitates the ability to lift the air in contact with the surface to the LFC. In boundary layers with significant CIN, it might not be possible for air parcels to be lifted to their LFC from the surface, if they even have an LFC. Conversely, air parcels lifted from above a low-level stable layer may have relatively little CIN and significant Convective Available Potential Energy (CAPE). These parcels can support what is known as elevated Deep Moist Convection (DMC). A more appropriate term for elevated DMC would be non-surface-based DMC, as the cloud base of elevated DMC does not necessarily have to be high, despite the term "elevated" implying so. Elevated DMC is generally believed to pose a lower risk of high wind events (e.g., tornadoes, damaging straight-line winds) compared to surface-based DMC. The primary threats from elevated DMC typically include large hail and flooding. Damaging surface winds are less likely in elevated DMC because downdrafts have a harder time penetrating a stable low-level air mass. In general, the most intense convection occurs in the surface-based layer because lifting near-surface air tends to result in the highest possible temperature excesses (i.e., buoyancy) over the environment, given that this air typically has the highest equivalent potential temperature ( $\theta_e$ ). The boundary layer usually experiences the highest wind shear due to the influence of surface drag on the low-level wind. Convective storms that do not tap into the inflow from the boundary layer are unable to take advantage of the often significant wind shear present there.

## آغازگری همرفت

زهرا قصابی<sup>۱</sup>, هوشنگ قائمی<sup>۲</sup>, ابراهیم میرزا<sup>۳</sup>

۱. استادیار هوشنگ قائمی، گروه پیش‌آگاهی مخاطرات جوی، پژوهشگاه هوشنگی و علوم جو، تهران، ایران.

رایانامه: [z.ghassabi@gmail.com](mailto:z.ghassabi@gmail.com), [z-ghassabi@asmerc.ac.ir](mailto:z-ghassabi@asmerc.ac.ir)

۲. هوشنگ قائمی، سازمان هوشنگی و علوم جو، تهران، ایران. رایانامه: [houshangghaemi@gmail.com](mailto:houshangghaemi@gmail.com)

۳. نویسنده مسئول، هوشنگ قائمی، پژوهشگاه هوشنگی و علوم جو، تهران، ایران. رایانامه: [emirzaei@gmail.com](mailto:emirzaei@gmail.com)

چکیده	اطلاعات مقاله
<p>ساختار همرفت مرطوب ژرف می‌تواند تحت تأثیر چینش باد، انرژی پتانسیل در دسترس همرفتی، رطوبت نسبی و توزیع قائم هر یک از این متغیرها در کنار سایر عوامل مؤثر دیگر قرار گیرد که در این بین چینش باد نقش مهم‌تری در ایجاد همرفت ایفا می‌کند. این امر به سبب فرآیندهای بزرگ و همدید مقیاس، همراه با تعدیل انرژی پتانسیل در دسترس همرفت و بازدارنده همرفت، شرایطی مناسب برای ایجاد همرفت به وجود می‌آورند. نقش میانگین بزرگ مقیاس، سبب کاهش بازدارنده همرفت می‌شود، ولی سرعت قائم حتی چند سانتی‌متر بر ثانیه می‌تواند تأثیر آشکاری بر گمانه‌زنی محیط داشته باشد. همچنین وجود ناپایداری پتانسیلی معمولاً عاملی مهم در آغازگری همروفت مرطوب ژرف به شمار می‌رود. دیده می‌شود هنگامی که دما به نقطه بحرانی می‌رسد و بازدارنده همروفت حذف می‌گردد، همروفت ژرف مرطوب آغاز می‌شود. در حالتی که بسته‌هایی که از فراز لایه پایدار کم ارتفاع زیرین بالا می‌رود، ممکن است دارای انرژی بازدارنده همروفتی نسبی کم و انرژی پتانسیل همروفتی آزاد نسبی زیاد باشد. این امر سبب پشتیبانی همروفت مرطوب ژرف ارتفاع یافته می‌شود. توده هوای گرم، آغازگری جریانات بالاسو را تداوم می‌بخشد و توکین بعدی همروفت به فراسنجهایی مانند چینش باد قائم و کلاهک وارونگی محیط در کنار سایر فراسنجهای دارد. سامانه‌های بزرگ مقیاس همروفتی می‌توانند با واداشت‌های کمتری سبب بالاروی گستره‌ده توده هوای سطح جبهه تا تراز همروفت آزاد شوند.</p>	<p>نوع مقاله: مقاله مروری</p> <p>تاریخ دریافت: ۱۴۰۱/۰۳/۰۷</p> <p>تاریخ بازنگری: ۱۴۰۱/۰۶/۲۲</p> <p>تاریخ پذیرش: ۱۴۰۱/۰۶/۲۳</p> <p>تاریخ پیش انتشار: ۱۴۰۱/۰۶/۲۴</p> <p>تاریخ انتشار آنلاین: ۱۴۰۴/۰۱/۰۱</p> <p>کلیدواژه‌ها:</p> <p>همروفت مرطوب ژرف، آغازگری همروفت، انرژی پتانسیل همروفتی، بازدارنده همروفت.</p>

استناد: قصابی، زهرا؛ قائمی، هوشنگ؛ و میرزا<sup>۳</sup>، ابراهیم (۱۴۰۴). آغازگری همروفت. تحقیقات کاربردی علوم جغرافیایی، ۷۶ (۲۵)،

<http://dx.doi.org/10.61186/jgs.25.76.16> .۴۹۴-۴۵۸



© نویسنده‌گان.

ناشر: دانشگاه خوارزمی تهران.

### مقدمه

آنچه که همرفت مرتبط ژرف خوانده می‌شود هنگامی ایجاد می‌شود که هوا از نقطه اشباع فرازش یافته و نیروی شناوری مثبتی را کسب نماید، بهطوری که بتواند به ارتفاعات بالاتر انتقال یابد. به عبارت دیگر آغازگری همرفت مرتبط ژرف که ساده‌تر، آغازگری همرفت خوانده می‌شود (Weckwerth & Parsons, 2006)، نیاز دارد که بسته‌هوا به تراز همرفت آزاد<sup>۱</sup> برسد و در پی آن در راستای قائم، نیروی شناوری مثبت باقی بماند؛ بنابراین انرژی پتانسیل در دسترس همرفت، شرطی ضروری ولی ناکافی برای آغازگری همرفت است. زمان و محل آغازگری همرفت به دلیل ارتباط روشین بین توفان‌های همرفتی و وضع هوای مخرب و نیاز همرفت به انرژی در دسترس در پیش‌بینی عددی وضع هوا و فرآیند توسعه طوفان‌های همرفتی، بسیار مورد توجه کارشناسان پیش‌بینی است. پیش‌بینی‌های نادرست وضع هوا در فصل گرم اغلب نتیجه‌ای از ناتوانی در برآورد آغازگری و توسعه همرفت مرتبط ژرف است. مهارت پیش‌بینی آغازگری همرفت نسبت به توانایی در برآورد نوع و ساختار طوفان همرفتی و تهدیدهای ناشی از وضع هوای مخرب، پیشرفت کندی داشته است. در ادامه دیده می‌شود که مشکلات بیشتری در برآورد پارامترها از نمودارهای ترمودینامیکی وجود دارد. دقت این که چه زمانی و چه محلی آغازگری طوفان‌های همرفتی شروع می‌شود، تابعی پیچیده از حرکت قائم با دامنه‌ای از مقیاس گرامایی تا همدیدی، ناهمنگی دما و رطوبت میان‌مقیاس (Schaefer, Hoxit & Chappell, 1985) و میانگین چینه‌بندی حاصل از فرآیندهای همدید مقیاس است.

وجود تراز آزاد همرفت و انرژی پتانسیل در دسترس همرفت، به آهنگ کاهش دمای زیادی از لایه‌ی زیرین تا وردسپهر میانی که باید بزرگ‌تر از متوسط آهنگ کاهش دمای بی‌درروی مرتبط باشد و رطوبت کافی لایه‌های زیرین وردسپهر، (شکل ۱) نیاز دارد. مشکل پیش‌بینی دقیق آغازگری همرفت از این ناشی می‌شود که وجود انرژی پتانسیل در دسترس همرفت، شرط کافی برای آغازگری همرفت نیست. همرفت مرتبط ژرف به‌طورمعمول در امتداد مرز توده‌های هوا مانند جبهه‌های همدیدی، خطوط خشک، مرز برون‌شارش و نسیم دریا (شکل ۲ آغاز می‌شود (Kingsmill, 1995). طوفان‌های همرفتی نیز می‌توانند توسط گردش کوهساری ناشی از گرمایش ارتفاع با شیب ناهمواری‌ها و فرازش و داشته توسط امواج گرانی (Yang & Houze, 1995) آغاز شوند.

اغلب، دینامیک همدید مقیاس توسط فرازش متوسط بزرگ‌مقیاس که گرایش به کاهش بازدارنده همرفت و ژرف نمودن رطوبت لایه زیرین دارد، نقش مهمی در آغازگری طوفان‌های همرفتی ایفا می‌کند (Farrell & Carlson, 1989). از طرف دیگر دینامیک همدید مقیاس نیز می‌تواند توسط فرونشینی متوسط، مانع آغازگری همرفت شود که اثری متضاد با مطلب پیشین دارد. حرکت قائم بزرگ‌مقیاس می‌تواند توسط شناخت الگو و کاربرد اصول هواشناسی همدیدی مانند نظریه شبهمینگرد و همچنین به کمک مدل‌های عددی، به خوبی برآورد شود. در واقع با وجودی که آغاز همرفت، به‌روشی فرآیندی میان‌مقیاس است (Doswell, 1987)، در پیش‌بینی آغاز همرفت، می‌توان از فرآیندهای همدید مقیاس چشم‌پوشی کرد. در واقع می‌توان این دو فرآیند را در پیش‌بینی آغاز همرفت، همزمان در نظر گرفت.

### معادله گرایش آهنگ کاهش

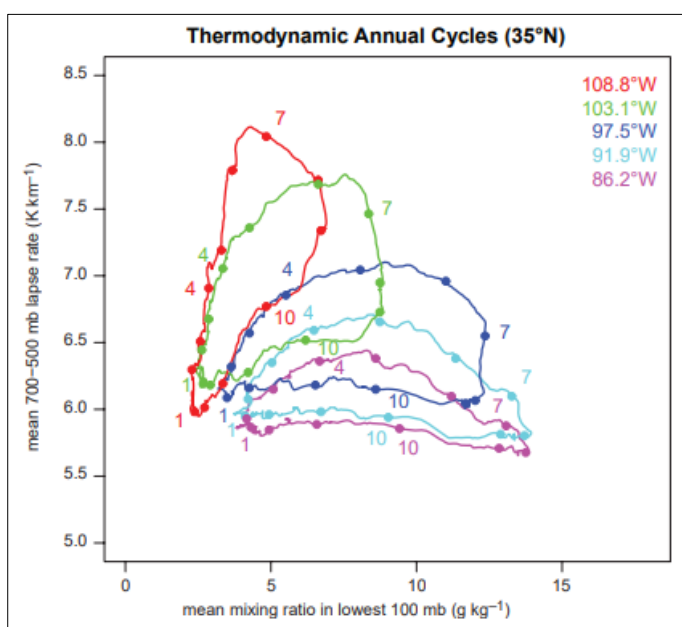
گرچه فرایندی که بسته‌ی هوا را به تراز همرفت آزاد می‌برد، فرایندی دارای ماهیت میان‌مقیاس است، فرایندهای بزرگ و همدید مقیاس توسط تعديل انرژی پتانسیل همرفت در دسترس و بازدارنده همرفت که بخشی از آن به‌وسیله تعديل آهنگ کاهش دینامیکی و ترمودینامیکی صورت می‌گیرد، شرایط را مهیا می‌سازد.

در معادله قانون اول ترمودینامیک رابطه (۱)،  $q$  آهنگ گرمایش بر واحد جرم،  $p$  فشار،  $T$  دمای مطلق،  $\alpha = \rho^{-1}$  حجم ویژه و  $c_p$  گرمای ویژه در فشار ثابت است. تمام متغیرهای بالا نشان دهنده فراسنج‌های محیط بزرگ‌مقیاس هستند.

$$q = c_p \frac{dT}{dt} - \alpha \frac{dp}{dt} \quad \text{رابطه (۱)}$$

<sup>۱</sup>. level of free convection

در مقابل میانگین افت نسبت اختلاط بخارآب در زیر ۱۰۰ هکتو پاسکال، استخراج شده از داده‌های باز تحلیل آمریکای شمالی، در پنج محل در امتداد غربی-شرقی در مدار (شمال ۳۵°) که تقریباً از شمال غرب نیومکزیکو (غرب ۱۰۸/۸°) تا میانه جنوب تنسی (غرب ۸۶/۲°) نمایش داده شده است (شکل ۱). دایره‌های پر در هر چرخه نشان دهنده اولین روز ماه (ژانویه، آوریل، جولای و اکتبر) که به ترتیب با اعداد ۱، ۴، ۷ و ۱۰ مشخص شده‌اند) است. زمانی که رطوبت ترازهای زیرین توسط آهنگ افت دمای لایه‌های میانی زیاد می‌شود، انرژی پتانسیل همرفت در دسترس به بیشینه مقدار خود می‌رسد (Droegemeier and Wilhelmson, 1985). به طور کلی این موضوع در ماههای بهار و تابستان رخ می‌دهد. به اختلاف چرخه‌ها از غرب به شرق توجه شود. چرخه‌های غرب آمریکا توسط تغییر افت دما از زمستان به تابستان گسترش می‌یابد، در صورتی که چرخه‌های شرق آمریکا توسط تغییرات رطوبت از زمستان به تابستان گسترش پیدا می‌کند (برگرفته از Brooks *et al.* 1993).



شکل (۱). چرخه سالانه آهنگ افت دمای لایه‌های میانی وردسپهر ۵۰۰- ۷۰۰ هکتوپاسکال

با فرض شرایط آب ایستایی، رابطه (۲) به دست می‌آید:

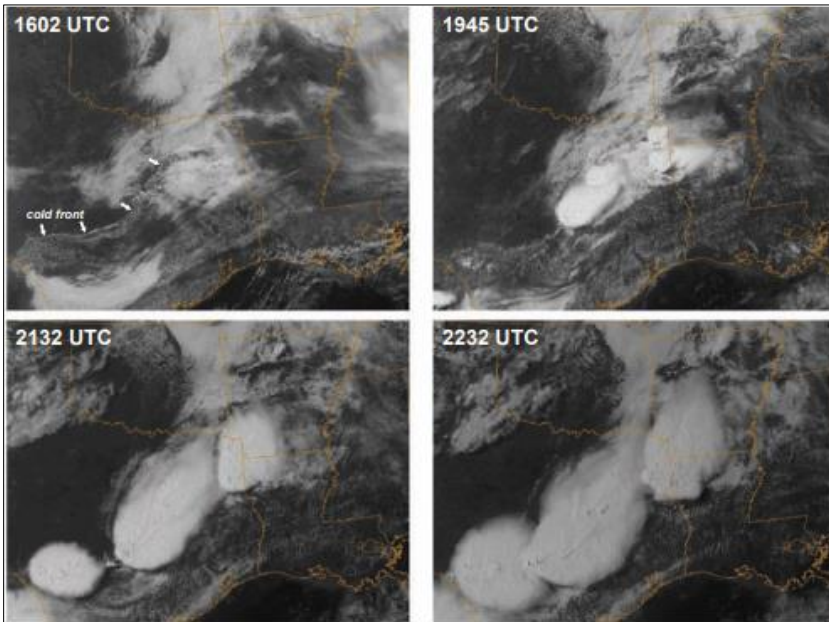
$$q = c_p \left( \frac{\partial T}{\partial t} + V_h \cdot \nabla_h T + \omega \frac{\partial T}{\partial z} \right) + g\omega \quad (2)$$

در رابطه (۲)  $v_h$  سرعت باد افقی و  $\omega$  مؤلفه قائم باد است. با مشتق‌گیری از این رابطه نسبت به ارتفاع  $z$  و ضرب دو طرف در ۱، رابطه (۳) به دست می‌آید:

$$-\frac{\partial q}{\partial z} = c_p \left[ \frac{\partial}{\partial t} \left( -\frac{\partial T}{\partial z} \right) + v_h \cdot \nabla_h \left( -\frac{\partial T}{\partial z} \right) + \omega \frac{\partial}{\partial z} \left( -\frac{\partial T}{\partial z} \right) - \frac{\partial v_h}{\partial z} \cdot \nabla_h T - \frac{\partial \omega}{\partial z} \frac{\partial T}{\partial z} \right] - g \frac{\partial \omega}{\partial z} \quad (3)$$

چون در این رابطه  $c_p$  ثابت در نظر گرفته شده است، از تأثیر رطوبت در معادله فوق چشم‌پوشی شده است. شکل (۳). در نبود خصوصیات ناهمواری‌های مناسب که به عنوان عامل اصلی شناوری عمل می‌کند، همرفت مرطوب ژرف تمايل به آغازگری در امتداد مرز توده هواها دارد (Koch, 1984)، که معمولاً با چینش باد و همگرایی همراهی می‌کند. این امر اجازه می‌دهد که پیش‌بینی‌ها بتوانند به خوبی محل شروع رخداد همرفت را پیش‌بینی کنند. چنین لایه‌مرزی به راحتی توسط

داده‌های رادار، ماهواره‌ها، در نقشه‌های همدیدی قابل مشاهده است (Wilson & Schreiber, 1986). تصاویر متوالی طیف مرئی ماهواره، توسعه خطی که در آن پدیده‌های تندری شدید در امتداد جبهه سرد در تاریخ ۲۷ می ۱۹۹۷ ایجاد کرده است را نشان می‌دهد؛ که شهر جارل تگزاس به سبب رخداد این پیچند، تخریب شده است.



شکل (۲). تصاویر متوالی طیف مرئی ماهواره، توسعه خطی که در آن پدیده‌های تندری شدید در امتداد جبهه سرد در تاریخ ۲۷ می ۱۹۹۷ ایجاد کرده است را نشان می‌دهد.

با تعریف  $\gamma \equiv -\partial T / \partial Z$  و  $\Gamma_d \equiv g / c_p$  که  $\gamma$  و  $\Gamma_d$  به ترتیب برابر با آهنگ کاهش دمای محیط و آهنگ کاهش بی‌درو خشک است و با حل  $\partial \gamma / \partial t$  نتیجه به صورت عبارت پایین در می‌آید:

$$\frac{\partial \gamma}{\partial t} = \underbrace{-v_h \cdot \nabla_h \gamma}_I - \underbrace{\omega \frac{\partial \gamma}{\partial Z}}_II + \underbrace{\frac{\partial V_h}{\partial Z} \cdot \nabla_h T}_{III} + \underbrace{\frac{\partial \omega}{\partial Z} (\Gamma_d - \gamma)}_{IV} - \underbrace{\frac{1}{c_p} \frac{\partial q}{\partial Z}}_V \quad (4)$$

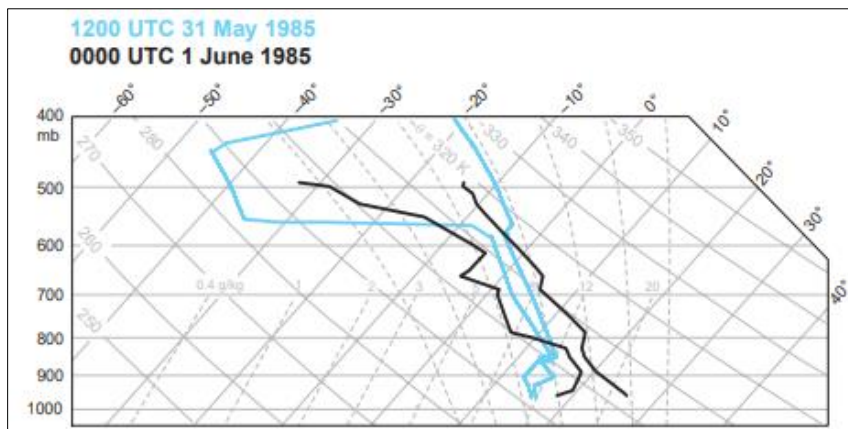
عبارت‌های I و II در معادله (۴) به ترتیب برابر با فرارفت کاهش دمای افقی و قائم است (شکل ۴ و ۵). عبارت III در رابطه (۴) هنگامی که با هم‌رفت کاهش دمای افقی (عبارت I) ترکیب شود اثر فرارفت دمای دیفرانسیلی را ارائه می‌دهد شکل (۶).

$$\frac{\partial V_h}{\partial Z} \cdot \nabla_h T - V_h \cdot \nabla_h \gamma = -\frac{\partial}{\partial Z} (-V_h \cdot \nabla_h T) \quad (5)$$

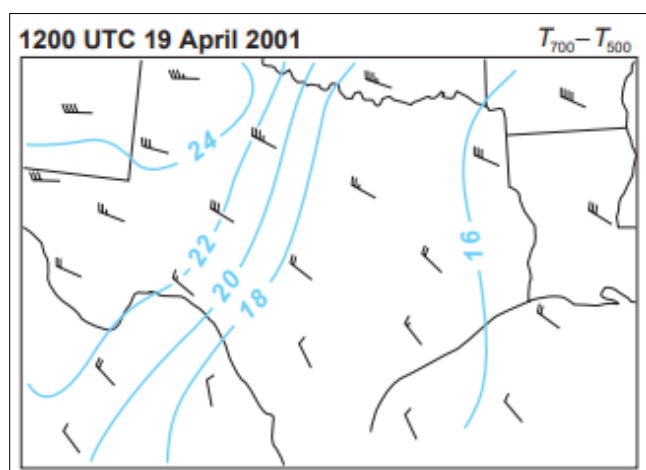
چون  $\nabla_h T = 0$  است، فقط چینش قائم باد در  $(\partial v_g / \partial Z)$  مشارکت می‌کند. جمله IV گاهی عبارت کشیدگی (واسنجش) خوانده می‌شود. هنگامی که  $\partial \omega / \partial Z > 0$  مانند حالتی که تراز نواگرا دارای فرازش قائم است و  $\gamma = \Gamma_d$  سبب افزایش آهنگ کاهش محیط می‌شود. جمله IV هنگامی که  $\Gamma_d - \gamma = 0$  باشد، حذف می‌شود، زیرا فرارفت قائم دما سبب حذف تغییرات دما به سبب داشتن انبساط و انقباض بی‌درو در بالا و پایین تراز نواگرا می‌شود. این شرایط به این تراز اجازه می‌دهد تا آهنگ کاهش بی‌درو خشک را حفظ کند. جمله V (پنجم) ارائه دهنده گرمایش در روی دیفرانسیلی است. اگر گرمایش در رو با ارتفاع کاهش یا افزایش یابد، آهنگ کاهش دما افزایش یا کاهش می‌یابد شکل (۸) و حالت معکوس این فرآیند برای سرمایش در رو درست است. در مقیاس همدیدی، عبارت‌های ۱ تا ۵ به ترتیب دارای مقدار نوعی  $10^{-7}$  کلوین بر

متر بر ثانیه،  $10^{-8}$  کلوین بر متر بر ثانیه،  $10^{-8}$  کلوین بر متر بر ثانیه،  $10^{-9}$  کلوین بر متر بر ثانیه است.

بنابراین بیشترین سهم‌گذاری عبارت‌های همدید مقیاس، به فرآیند فرارفت کاهش قائم دما نقش دارد. در میان مقیاس، عبارت‌های ۲ تا ۵ به سادگی می‌تواند یک مرتبه بزرگ‌تر از مقیاس همدیدی آن‌ها باشد. شکل(۳) نشان می‌دهد که احتمالاً در نتیجه فرآیندهای بزرگ مقیاس هماهنگ انجام می‌گیرد (برای نمونه آفتاب‌گیری، فرارفت آهنگ افت دما و فرارفت دیفرانسیل دما و اثر کشیدگی و غیره). همچنین رطوبت لایه‌های زیرین با مقدار چندین  $\text{gr/kg}$  در دوره ۱۲ ساعته افزایش می‌یابد که اکثرًا توسط فرارفت رطوبت انجام گرفته است. افزایش آهنگ افت دما و رطوبت لایه زیرین بین ساعت ۱۲ و ۰۰، سبب توسعه CAPE بزرگ می‌شود (شاخص بالارو از  $+3$  به  $-7$  - کاهش پیدا می‌کند، شاخص بالارو عبارت است از اختلاف دمای ۵۰۰ میلی باری و بسته‌هایی که از سطح زمین به تراز ۵۰۰ میلی باری فرازش می‌یابد. شاخص منفی بدین معنی است که بسته‌هایی که از سطح زمین به ۵۰۰ میلی باری فرازش می‌یابد، گرم‌تر است). (چینش باد قائم بزرگ نیز، با پایداری بزرگ همراه است. تهاجم شدیدترین پیچند (تورنادو) در تاریخچه پنسلوانیا که در حال پیشرفت بوده است، دور از انتظار نبوده است. در شکل(۴) تحلیل تغییرات دمای محیط بین تراز ۷۰۰ تا ۵۰۰ هکتوپاسکال (K) که اندازه‌گیری کپه‌های میانگین آهنگ کاهش دما (تغییر دمای  $270 \text{ k}$  بین ۷۰۰ تا ۵۰۰ معادل با نیمرخ دمای خشک بی‌دررو)، وجود فرارفت افقی، آهنگ کاهشی دما را مشخص می‌کند وجود دارد.

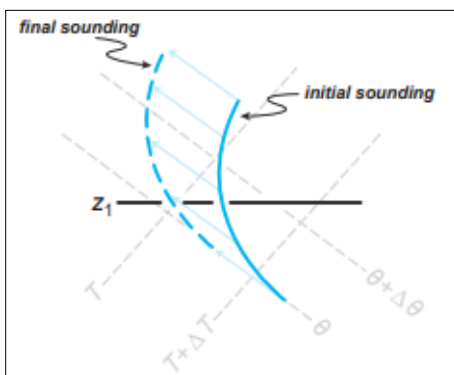


شکل (۳). گمانهزن پترزبورگ پنسلوانیا utc ۰۰ روز ۳۱ مه ۱۹۸۵ (آبی) و utc ۰۰ روز ۱ ژوئن ۱۹۸۵ (سیاه) بین ساعت ۱۲ و ۰۰ utc، آهنگ افت دمای وردسپهروی، تغییرات بارزی را نشان می‌دهد.

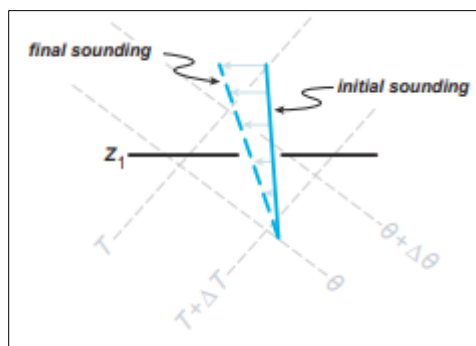


شکل (۴). تحلیل تغییرات دمای محیط بین تراز ۷۰۰ تا ۵۰۰ هکتوپاسکال (k) که اندازه‌گیری کپه‌های میانگین آهنگ کاهش دما (تغییر دمای k) بین ۲۷۰ تا ۵۰۰ معادل با نیمرخ دمای خشک بی‌دررو، وجود فرارفت افقی، آهنگ کاهشی دما را مشخص می‌کند. پرچم‌ها میانگین باد لایه hpa ۵۰۰-۷۰۰ را نشان می‌دهد. فرارفت آهنگ کاهش دمای زیاد، از مناطق مرتفع شمال مکزیک و شرق نیومکزیکو به‌سوی زمین‌های بزرگ آمریکاست. این شرایط فصل گرم، منجر به شکل‌گیری لایه آمیخته ارتفاع یافته در منطقه زمین‌های بزرگ می‌شود.

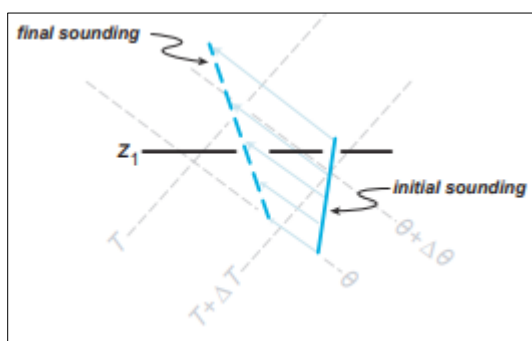
شکل (۵) نمودار ترمودینامیکی اثر فرارفت قائم آهنگ کاهش دما را نشان می‌دهد. بردارهای آبی کمنگ جابجایی بی‌درروی خشک بسته‌هوا را نمایش می‌دهد. در تراز  $Z_1$ ,  $\partial\gamma/\partial Z > 0$ , پس زمانی که فرازش آهنگ کاهش دمای بزرگ‌تر از تراز زیرین  $Z_1$  به بالای  $Z_1$  انتقال می‌یابد مشخص می‌کند که در آن آهنگ کاهش دما افزایش می‌یابد. توجه شود که این فرآیند به‌طور بی‌دررو رخ می‌دهد، به‌طوری که سرمایش به‌علاوه افزایش آهنگ کاهش دما، در تراز  $Z_1$  رخ می‌دهد. این سرمایش با حرکت بالاسو همراهی می‌کند که برای حذف کلاهک و آغاز تندر، مهم‌تر از آهنگ کاهش دما است. برای نمونه فرازش بی‌درروی خشک بزرگ‌مقیاس، همیشه منجر به سرمایش و تضعیف کلاهک، در زمانی که آهنگ کاهش دما کمتر از بی‌درروی خشک باشد، می‌شود. تغییرات آهنگ کاهش دما در نتیجه فرازش بزرگ‌مقیاس ممکن است بسته به مقدار اولیه  $\gamma$ ,  $\partial\omega/\partial Z$  و  $\partial\gamma/\partial Z$  باشد. شکل (۶) نمودار ترمودینامیکی اثر فرارفت دیفرانسیل افقی دما را (توسط باد آ. زمینگرد) به نمایش می‌گذارد (تغییرات دما با بردارهای آبی کمنگ نمایش داده شده است). فرارفت هوای سرد از تراز  $Z_1$  با ارتفاع افزایش می‌یابد که منجر افزایش آهنگ کاهش دما در این تراز می‌شود. این اثر در واقع اثر مشاهده شده در شکل (۴) می‌باشد. شکل (۷). نمودار ترمودینامیکی اثر کشیدگی روی آهنگ کاهش دما را نشان می‌دهد. در این نمونه  $\Gamma \ll \omega$ , بنابراین آهنگ کاهش دما در تراز  $Z$  با زمان افزایش می‌یابد. پیکان‌های آبی کمنگ خطوط بی‌درروی جابجایی بالاسوی بسته را نشان می‌دهند. شکل (۸). نمودار ترمودینامیکی اثر گرمایش بی‌درروی دیفرانسیل در بررسی آهنگ کاهش دما را نشان می‌دهد. بیشینه گرمای نهان در تراز  $Z_1$  جایی که  $\omega/\partial Z = 0$  و آهنگ کاهش دمای ثابت، رخ می‌دهد. آهنگ کاهش دما در بالای بیشینه گرمایش ( $Z > Z_1$ ) افزایش یافته و در زیر این تراز کاهش می‌یابد ( $Z < Z_1$ ).



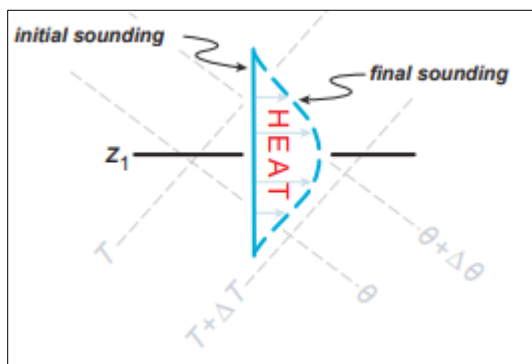
شکل (۵). نمودار ترمودینامیکی اثر فرارفت قائم آهنگ کاهش دما



شکل (۶). نمودار ترمودینامیکی اثر فرارفت دیفرانسیل افقی دما را (توسط باد آ. زمینگرد) به نمایش می‌گذارد.



شکل (۷). نمودار ترمودینامیکی اثر کشیدگی روی آهنگ کاهش دما را نشان می‌دهد.

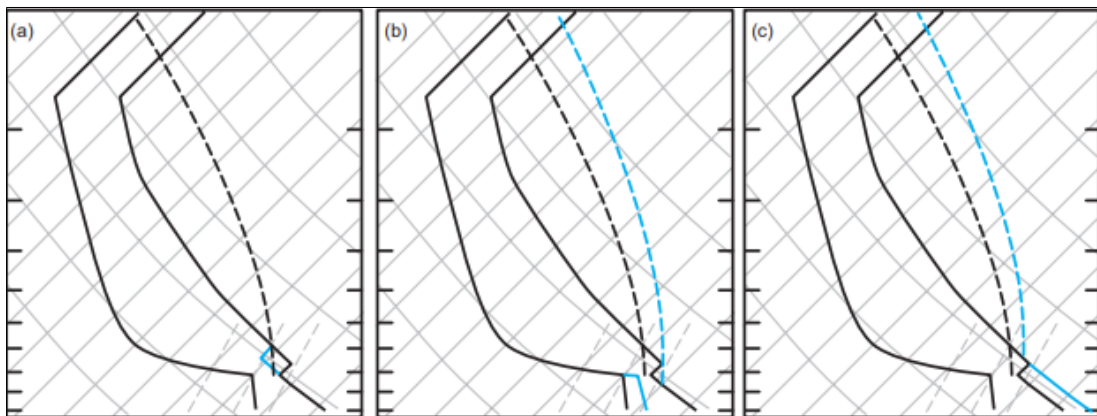


شکل (۸). نمودار ترمودینامیکی اثر گرمایش بی درروی دیفرانسیل در بررسی آهنگ کاهش دما را نشان می‌دهد.

تعیییرات آهنگ کاهش دما در درسترس همرفت و بازدارنده همرفت مستقل از گرایش آهنگ کاهش دما می‌باشد. ولی شایان گفتن است که تعیییرات آهنگ کاهش دما در انرژی پتانسیل در درسترس همرفت و بازدارنده همرفت داشته باشد. ولی شایان گفتن است که تعیییرات آهنگ کاهش دما در انرژی پتانسیل در درسترس همرفت و بازدارنده همرفت حتی اگر تعیییرات آهنگ کاهش دما ناچیز بوده یا وجود نداشته باشد، می‌تواند اثر بخش باشد. ممکن است ایرادهایی در تحلیل‌های گرایش آهنگ کاهش دما به سبب تأکید بیش از حد در اهمیت تعیییرات آهنگ کاهش دما بهویژه در هنگامی که حوزه‌ی تحلیل محدود به لایه میانی وردسپهر است، وجود داشته باشند. برای نمونه اغلب تعیییرات در انرژی پتانسیل در درسترس همرفت و بازدارنده همرفت نتیجه‌ای از افزایش بیش از حد در رطوبت ترازهای زیرین، بهویژه در لایه‌ی مرزی که مستقل از آهنگ کاهش دما است، می‌باشد. ناپایداری بارز گمانهزنی نشان داده شده در شکل (۳) از نقطه‌ای مشخص برای انرژی پتانسیل در درسترس، نتیجه‌ای از مرتبط شدنگی ترازهای زیرین است، که آن هم ناشی از تعیییرات آهنگ کاهش دما در لایه‌ی میانی وردسپهر است. به علاوه میانگین

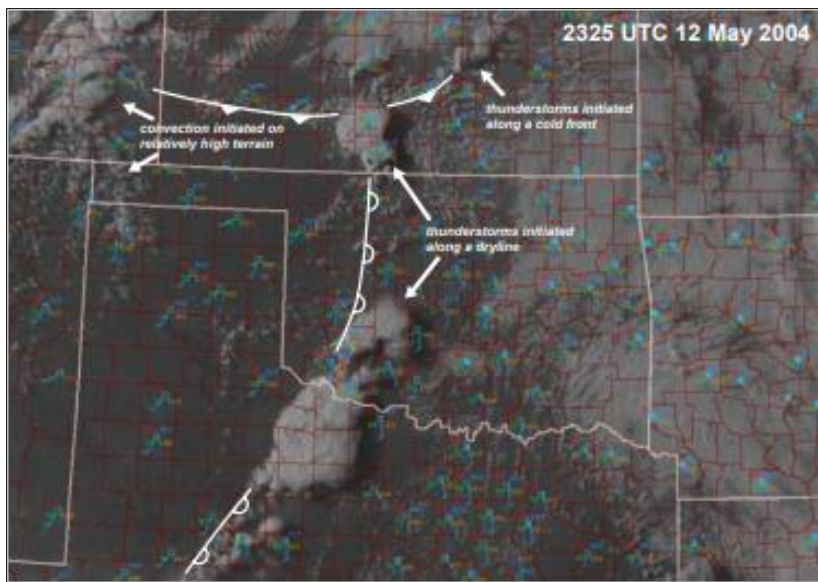
فرازش با ارتفاع افزایش داشته باشد، میانگین فرازش، همراه با سرمایش بی دررو است؛ بنابراین نقش میانگین بزرگ مقیاس فرازش، سبب کاهش بازدارنده همرفت می شود.

گرچه حرکت قائم همدید مقیاس از نظر مقدار در مقایسه با حرکت قائم در ارتباط با گرمای لایه مرزی قابل چشم پوشی است، ولی اگر سرعت قائم همدید مقیاس برای چندین ساعت تداوم داشته باشد، سرعت قائم حتی به میزان چند سانتی متر بر ثانیه می تواند تأثیر آشکاری بر گمانه زنی محیط داشته باشد. به سبب گرم شدن لایه مرزی، مقدار نوعی بازدارنده همرفت از اوایل صبح تا بعداز ظهر کاهش می یابد، در حالی که آهنگ کاهش دما لایه مرزی با ژرف شدن لایه مرزی، گرایش دارد که تقریباً ثابت یا خنثی باقی بماند. با دقت بیشتر در موضوع، تغییر آهنگ کاهش دما در این مورد رخ می دهد، ولی تغییر آهنگ کاهش دما محدود به بام لایه مرزی است. عامل بسیار مهمتر در کاهش روزانه بازدارنده همرفت به این دلیل است که بسته هوازی که از سطح زیرین بالا می رود در اوخر روز گرمتر است. شکل (۹) این اثر را به نمایش گذاشته است که تمام آن فرآیندها علاوه بر فرآیندهایی که قبلًا توصیف شده می تواند آهنگ کاهش دما را تغییر داده و به صورت همزمان در یک روز رخ دهند.



شکل (۹). بازدارنده همرفت می تواند (a) فرازش بزرگ مقیاس (b) مرطوب شدن ترازهای زیرین (c) مرطوب شدن ترازهای زیرین کاهش یابد. با وجود این حقیقت که پیرایش بازدارنده همرفت نمی تواند با آهنگ کاهش دما در ژرفای قابل ملاحظه همراه باشد. در (a) تا (c) خط هم دما و هم آنتروپی با خطوط حاکستری خطوط نسبت اختلاط ثابت با خط چین خاکستری، مسیر گمانه زنی توسط بسته هوازی فرازش یافته از سطح به ترتیب با خطوط ضخیم و خط چین سیاه و گمانه زن تعديل یافته و مسیر بسته هوا به ترتیب خط آبی پر و خط چین نشان داده شده اند. در (a) برای شفاف شدن فقط نیمرخ دما پیدایش یافته است. توجه شود که در b و c، انرژی پتانسیل در دسترس همرفت نیز با افزایش همراه است. بر عکس CIN توسط فرونشینی بزرگ مقیاس، افزایش می یابد و لایه مرزی خنک و خشک می شود.

وجود ناپایداری پتانسیلی یعنی لایه ای که در آن  $\partial \Theta_e / \partial z < 0$  یا  $\partial \Theta_w / \partial z < 0$  باشد، معمولاً عامل مهمی در آغازگری همرفت مرطوب ژرف است. با توجه به رابطه (۴)، سازوکار ناپایداری پتانسیلی، آهنگ کاهش دما توسط عبارت گرمایش در روی دیفرانسیلی افزایش می یابد. به طوری که بررسی شده، دیده می شود اگرچه معمولاً  $\Theta_e$  و  $\Theta_w$  در محیطی که همرفت مرتبط ژرف را پشتیبانی می کند، با ارتفاع کاهش می یابد، اما به نظر نمی رسد که حذف بازدارنده همرفت توسط سازوکار ناپایداری پتانسیلی، در بیشتر موارد در بر گیرنده آغازگری همرفت در راستای مرز توده هوا عمل کند. همرفت مرطوب ژرف که در راستای مرز توده های هوا مانند جبهه های سرد و خط خشک توسعه می یابند (Ziegler & Rasmussen, 1998; Ziegler, Lee & Pielke 1997)، معمولاً همراه با شکل گیری گستره ای ابرهای چینه بندی شده که بیانگر حرکت بالا رو بزرگ مقیاس لایه ای از توده هوا هستند، نیست؛ بنابراین در حرکت بالارو که منجر به حذف کلاهک توده هوا می شود، به ناپایداری پتانسیلی نیاز نیست.



شکل (۱۰). نمونه‌ای از آغازگری همرفت در ابتدای بخش کوچکی از مرز توده هوا شکل داده شده است. تصویر طیف مئی ماهواره در ساعت ۲۳۲۵ UTC، ۱۲ می ۲۰۰۴ و آغازگری طوفان‌های تندری پراکنده در امتداد خط خشک (خطوط جبهه با نشان گوش‌ماهی) و جبهه سرد (خطوط با زبانه تو خالی) را در منطقه گربت پلین نشان می‌دهد. چه شرایطی یا فرآیندی توانایی دارد که بسته‌هوا را به تراز همرفت آزاد در جایگاهی مناسب و نه در سایر جاهای دیگر در امتداد مرز توده هوا برساند. علاوه بر این توفان‌های تندری در مناطق مرتفع جنوب شرقی تکرار و در غیاب مرز مشخص توسعه یافته است.

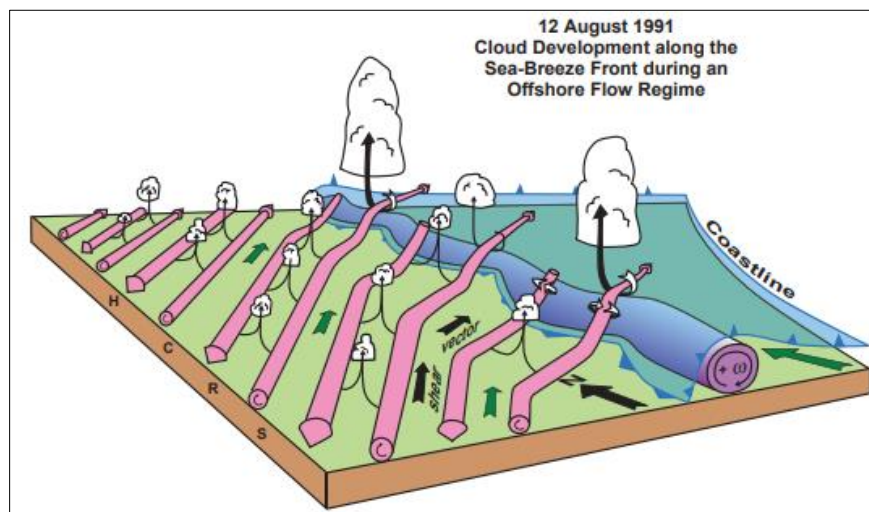
حرکت بالارو کلاهک یا هوای نسبی گرم صرفنظر از اینکه نیميخ $\Theta$  یا وضعیت اشباع در حرکت بالارو چگونه است، منجر به سرمایش و تضعیف کلاهک می‌شود. به عبارت دیگر کاهش بازدارنده همرفت در لایه‌ای که با حرکت بالارو همراه است نیازی به افزایش آهنگ کاهش دما ندارد.

#### پیچیدگی‌های میان‌مقیاس آغازگری همرفت

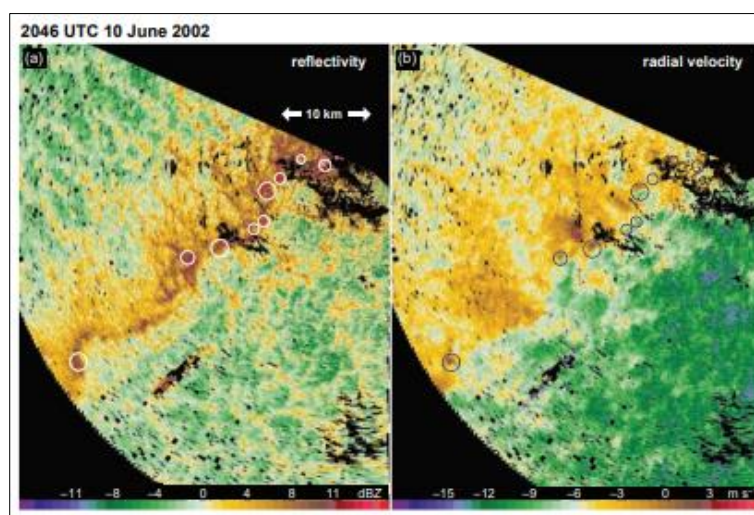
اگرچه همرفت در راستای مرز توده‌های هوا با همراهی انرژی پتانسیل در دسترس همرفت و بازدارنده همرفت کم به سادگی شناخته می‌شوند، ولی در هنگامی که با سرعت قائم بزرگ‌مقیاس همراه باشند، همرفت آغاز می‌گردد؛ که در این صورت پیش‌بینی آغازگری همرفت توسط بسیاری از فرآیندهای میان‌مقیاس (Johnson & Mapes, 2001)، پیچیده می‌شود. برای نمونه گرچه مرز توده‌های هوا توسط سامانه‌های دیدبانی عملیاتی به سادگی شناسایی می‌شوند، همرفت بهندرت در سرتاسر راستای مرز این توده هوا توسعه می‌یابد. به جای آن طوفان‌های همرفتی نوعی فقط در امتداد قطعه‌هی کوچکی از مرز توده هوا آغاز می‌شود. شکل (۱۱) شکل بالا شمایی از برهمنکنش بین جبهه نسیم دریا و پیچک‌های همرفتی افقی و چگونگی ارتباط آن‌ها با شکل‌گیری توسعه ابر در ۱۲ آگوست ۱۹۹۱ در طی آزمون باردارشدن الکتریکی بارش همرفتی را نشان می‌دهد. جبهه نسیم دریا با خطوط آبی پررنگ مشخص شده است. گردش در امتداد بخش پیشرو جبهه نسیم دریا با رنگ ارغوانی نشان داده شده است. بردارهای تاوایی افقی مربوط به گردش غلته‌های چرخش ساعت‌گرد، بهمانند ابرهایی در امتداد غلته‌های همرفت افقی و محل برخورد در امتداد جبهه نشان داده شده است. بردار چینش و بادهای تراز زیرین به ترتیب با پیکان‌های سیاه و سبز نشان داده شده‌اند (برگرفته از Atkins, Wakimoto & Weckwerth, 1995). شکل (۱۲). میزوسایکلون<sup>۲</sup>‌های ردیف شده (که با دایره مشخص شده) در منطقه جبهه سرد بدون بارش در (a) بازتابایی رادار (b) سرعت شعاعی ( $ms^{-1}$ ) رادار، بدست‌آمده از رادار داپلر دا، در کانزاس غربی در ۱۰ ژوئن ۲۰۰۲ (زاویه ارتفاعی ۵/۰ درجه). بازتابایی به‌طور عمده به حشرات نسبت داده می‌شود. ناپایداری چینش افقی احتمالاً نقش مؤثری در شکل‌گیری تاوه‌ها ایفا می‌کند

<sup>2</sup>. misocyclones

(Arnott, Richardson, Wurman & Rasmussen, 2006) شکل (۱۳) مدل مفهومی میزوسایکولون‌ها (سرعت قائم، بزرگ‌تر از مقادیر کنتورهای محیطی نشان داده شده است)، همگرایی افقی (سایه‌دار) و خطوط جریان بر پایه نمونه‌ای از توده‌های مرزی مشاهده شده در طی پروژه بین‌المللی آب که یکی از آن‌ها در شکل (۱۲) نشان داده شده، دیده می‌شود. میزوسایکولون‌ها در موقعیت‌های A نسبت به میانگین پهنای منطقه همگرایی میان مقیاس، کوچک‌تر است. میزوسایکولون‌ها در موقعیت‌های B در مقایسه با منطقه همگرایی میان مقیاس بزرگ‌ترند. میزوسایکولون‌ها در موقعیت C مشابه پهنای منطقه همگرایی میان مقیاس است. یکپارچه شدن میزوسایکولون‌های ردیف شده در مرز در موقعیت عمود بر مرز به ترتیب در جایگاه D و E قرار دارد (برگرفته از Markowski, Hannon & Rasmussen, 2006).

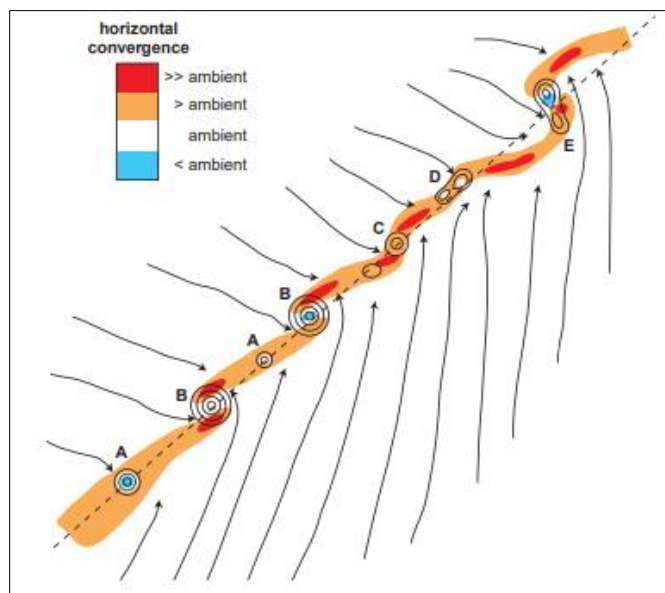


شکل (۱۱). شمایی از برهمکنش بین جبهه نسیم دریا و پیچک‌های همرفتی افقی و چگونگی ارتباط آن‌ها با شکل‌گیری توسعه ابر در ۱۲ آگوست ۱۹۹۱ در طی آزمون باردارشدن الکترویکی بارش همرفتی



شکل (۱۲). میزوسایکولون<sup>۳</sup>های ردیف شده (که با دایره مشخص شده) در منطقه جبهه سرد بدون بارش در (a) بازتابایی رادار (b) سرعت شعاعی ( $m s^{-1}$ ) رادار، به دست آمده از رادار داپلر داو، در کانزاس غربی در ۱۰ ژوئن ۲۰۰۲ (زاویه ارتفاعی ۵/۰ درجه).

<sup>۳</sup>. misocyclones



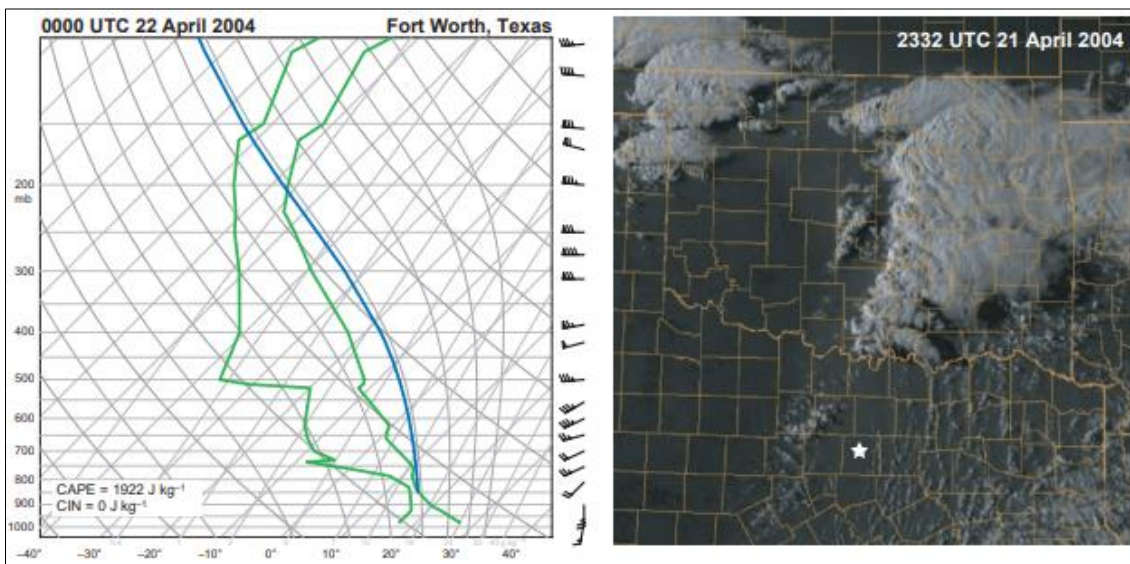
شکل (۱۳). مدل مفهومی میزوسایکولون‌ها (سرعت قائم، بزرگ‌تر از مقادیر کنتورهای محیطی نشان داده شده است)، همگرایی افقی (سایه‌دار) و خطوط جربان بر پایه نمونه‌ای از توده‌های مرزی مشاهده شده در طی پروژه بین‌المللی آب که یکی از آن‌ها در شکل (۱۲) نشان داده شده، دیده می‌شود.

به نظر می‌رسد حداقل در برخی موارد، ناهمگونی جنبش شناختی در راستای مرز توده هوا سبب مناسب بودن شرایط همرفت در برخی از بخش‌ها نسبت به بخش‌های دیگر می‌شود. از نظر دینامیکی مشاهده می‌شود که توفان‌های همرفتی هنگامی که چرخش همرفتی افقی با مرز توده هوا برخورد نماید، توسعه می‌یابد.

تاوه‌های قائم خرد مقیاس با قطری کمتر از ۴ کیلومتر که گاهی چرخدن خرد مقیاس یا تاوه، نامیده می‌شود، توسط ابرهای کومه باران در حال رشد شناسایی می‌شوند. چنین تاوه‌هایی که به طور طبیعی به دلیل ناپایداری دینامیکی در ارتباط با چینش افقی باد ایجاد می‌شوند، گرایش دارند که در راستای خط جابجایی باد توسعه یابند. این جابجایی باعث تشدید همگرایی در راستای برخی از بخش‌های مرز توده‌های بین تاوه‌ها می‌شود. در حالی که این همگرایی در برخی بخش‌های دیگر معمولاً در هسته‌ی تاوه‌ها تضعیف می‌شود. احتمالاً به سبب دلایل دینامیکی مشخص، اغلب ساختار میدان همرفت، مشابهی با ساختار ابرهای کومه‌ای در نواحی بارشی جبهه سرد دارد. به نظر می‌رسد که در سایر موارد، ناهمگونی ترمودینامیکی که با مرزهای توده هوا برخورد می‌کند، ممکن است آغازگری همرفت در راستای بخشی از مرز توده هوا مناسب یا نامناسب باشد. پدیده‌های آغازگری ناموفق همرفت که احتمالاً کمتر از سایر پدیده‌ها درک شده‌اند، هنگامی رخ می‌دهند که یاخته از تراز همرفت آزاد عبور کند، در حالی که هنوز همرفت مرطوب ژرف بارش‌زا و پیوسته توسعه نیافته است (شکل ۱۴). شناخت این که تا چه حد فرآیندهای درون لایه‌مرزی در مقابل بالای لایه‌مرزی در این فرآیند ناموفق مشارکت دارد، مشکل است.



شکل (۱۴). عکسی از برج‌های بوقلمون شکل، زمانی که بسته‌های توسعه یافته از تراز همرفت آزاد پیشی گرفته و به ارتفاع بالاتر صعود کرده و به تولید سندان منجر شده است؛ که هنوز همرفت مرطوب ژرف موفق به ثبت و مرحله بلوغ نرسیده است (عکس از روگر ادوارد).

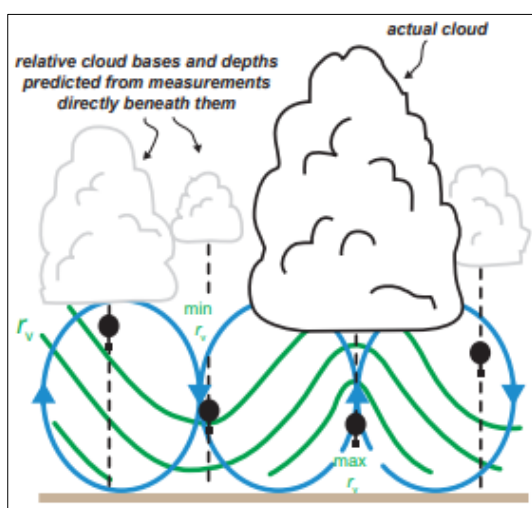


شکل (۱۵). نمونه‌ای از آغازگری همرفت ناموفق در نبود بازدارنده همرفت در ۲۱ آوریل ۲۰۰۴ در فورت‌ورث تگزاس، تصویر سمت چپ داده‌ی گمانه‌زنی بدون انرژی پتانسیل در دسترس همرفت و بازدارنده همرفت قابل توجه، که طوفان تندri در ۱۵۰ کیلومتری شمال موقعیت گمانه‌زنی در ساعت 00UTC توسعه یافته که با علامت ستاره در تصویر ساعت ۲۳:۳۲ UTC ۲۳:۳۲ ماهواره مشخص شده است (سمت راست). حتی با حذف دمای مجازی مقدار بازدارنده همرفت صفر است.

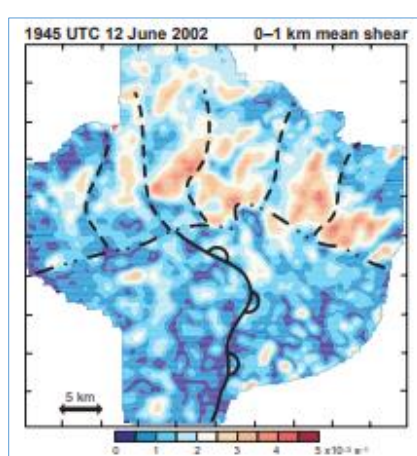
ناکافی بودن انرژی بازدارنده همرفت برای حذف آغازگری همرفت هنگامی که دما به نقطه‌ی بحرانی برای ایجاد همرفت برسد و یا انرژی بازدارنده همرفتی حذف گردد، همرفت مرطوب ژرف آغاز می‌گردد. به این سبب اثر بخارآب باید در محاسبه انرژی بازدارنده همرفتی در نظر گرفته شود. در مطالعات نشان داده شده است که بخارآب می‌تواند اثر بارزی در محاسبه بازدارنده همرفتی داشته باشد. حذف رطوبت به عنوان شاخصی که نشان دهنده حذف بازدارنده همرفتی است می‌تواند سودمندی دمای همرفتی را محدود کند. در برخی موارد دیده می‌شود که بازدارنده همرفتی وجود ندارد، با وجود این، همرفت مرطوب ژرف همچنان توسعه نمی‌یابد. در سایر موارد مسائلی که گمانه‌زن را نمایندگی می‌کند، وجود دارد. ناهمانگی در میدان‌های رطوبت و دما که در بالا اشاره شد به طورکلی در زمان واقعی دیدبانی نمی‌شوند و اغلب حتی با مطالعات گذشته نیز همهاهنگی ندارند. شاید فرضی باشد که با استفاده از گمانه‌زن، تکوین بر ارزش همرفتی که مشکل‌زا است را ارزیابی کند. گرچه کاهش انرژی بازدارنده همرفت بی‌شک زمینه‌ای برای ایجاد محیط مناسب آغازگری همرفت است، ولی آغازگری همرفت، به سادگی، رسیدن به دمای بحرانی همرفت یا حذف بازدارنده همرفتی نیست.

یکی از روش‌های معمول محاسبه بازدارنده همرفتی انتقال بسته‌ها از سطح زمین که اغلب بسته‌ای با بیشترین انرژی پتانسیل در دسترس همرفتی در کمترین انرژی بازدارنده همرفتی است، تا تراز اشباع بالارو و از آنجا به تراز همرفت آزاد است. فرض می‌شود که نسبت اختلاط بخارآب  $\tau_w$  و دمای پتانسیل  $\Theta$  برای بخشی از انتقال بسته‌ها از سطح زمین تا تراز اشباع همرفت که به صورت بی‌درروی خشک انجام می‌گیرد پاستار باشد. همچنین فرض می‌شود که برای بخش دیگری از بسته‌ها که دمای پتانسیل هم‌از  $\Theta_w$  یا جایگزین آن دمای پتانسیل تر  $\Theta_w$  از تراز اشباع همرفت تا تراز همرفت آزاد و به شکل بی‌درروی اشباع انتقال می‌یابد، نیز پاستار باشد. همان‌گونه که پیش‌ازاین بررسی شد، یکی از احتمالات اینکه چرا گاهی آغازگری همرفت همراه با داده‌های گمانه‌زن بدون همرفت مرطوب ژرف و بازدارنده همرفتی صفر رخ می‌دهد، این است که

فرض پایستاری نسبت اختلاط بخارآب و دمای پتانسیل برای انتقال بسته از سطح زمین تا تراز اشباع همرفت و از آنجا به تراز همرفت آزاد، نامناسب است؛ زیرا اختلاط هوای خشک محیط پیرامون به درون بسته‌های انتقال یافته به تراز بالا سبب کاهش شناوری و دمای پتانسیل هم‌ازر  $\theta_e$  بسته، می‌شود، که معمولاً باعث انتقال ترازهای اشباع بالارو و همرفت آزاد به ارتفاعات بالاتر می‌گردد. روش دیگر برای محاسبه بازدارنده همرفت، انتقال بسته‌ی هوا با میانگین نسبت اختلاط بخارآب و دمای پتانسیل برای ۵۰ تا ۱۰۰ میلی‌بار مجاور سطح زیرین یا گاهی برای سرتاسر لایه‌مرزی می‌باشد. این کار معمولاً مربوط به آمیختگی هوا خشک محیط به درون بسته‌ها است که در مراحل اولیه محاسبه بازدارنده همرفت، از آن چشم‌پوشی شده است. گاهی با وجودایتکه بازدارنده همرفت با انتقال بسته‌های دارای میانگین نسبت اختلاط بخارآب، دمای پتانسیل با ارتفاعات محاسبه شده است، گاهی داده‌های گمانه‌زن، فاقد انرژی باز دارنده همرفت و همرفت مرطوب ژرف است. چه اشتباهاتی ممکن است در این محاسبات رخ داده باشد.

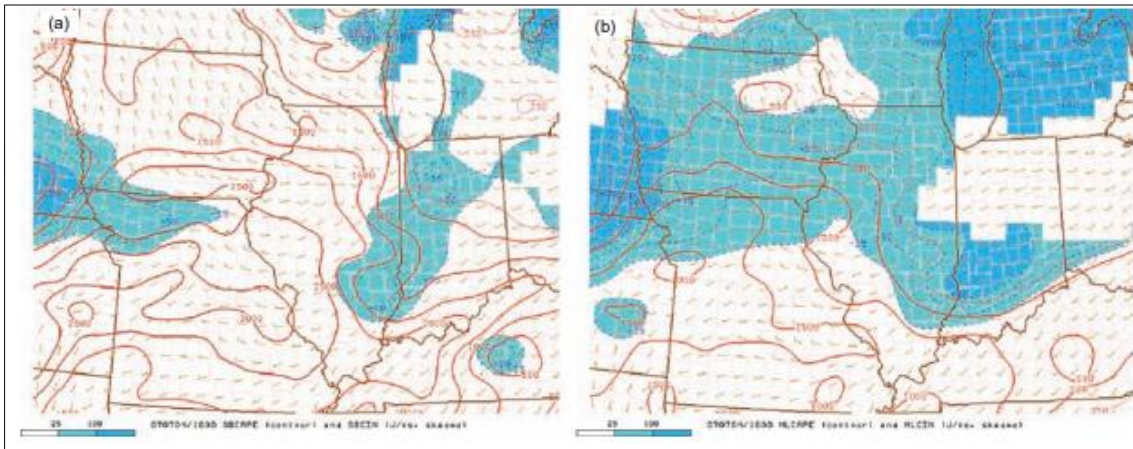


شکل (۱۶). در شکل بالا اثر گردش غلتشی لایه‌مرزی بر روی نیمرخ رطوبت اندازه‌گیری شده توسط گمانه‌زنی‌ها به شکل نموداری نشان داده شده است، گمانه‌زنی که بر روی نمونه غلتشی بالارو فرازش می‌باشد دارای تراکم بخارآب بیشتری نسبت به گمانه‌زنی است که بر روی غلتش پایین رو فرازش می‌باشد؛ بنابراین ارتفاع تراز اشباع بالارو<sup>۴</sup> بر پایه گمانه‌زنی که در طی حرکت پایین رو صعود می‌کند ممکن است در مقایسه با پایه ابر دیدبانی شده، بیشتر برآورد شود، که به طور کلی در لایه‌مرزی بالارو واقع است. مقادیر انرژی پتانسیل در دسترس همرفت و بازدارنده همرفت محاسبه شده از یک گمانه‌زن می‌تواند به اینکه گمانه‌زن در طی بالا و پایین رو صعود کند، حساس باشد (برگرفته از Weckwerth et al. 1996).

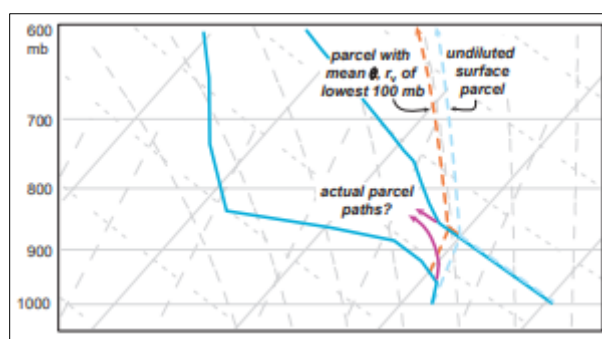


<sup>4</sup>. lifting condensation level

شکل (۱۷). نمایش سطح مقطع افقی میانگین چینش قائم از یک کیلومتر بالای سطح زمین در ساعت ۱۹:۴۵ utc روز ۱۲ ژوئن ۲۰۰۲ که از یک رادار دوقطبی باد به دست آمده است. خطوط خط‌چین فاز موج گرانی جبهه، خطوط خط نقطه مرز شارش خروجی و خطوط گوش‌ماهی خط خشک را نشان می‌دهد. به تغییرپذیری چینش قائم باد (Weisman & Klemp, 1984) که بخشی از آن به علت جریان‌های گرمایی و بخشی دیگر به سبب لایه‌مرزی میان مقیاس است، توجه شود. تعجب‌آور است که اگر بتوان توزیع مکانی بازدارنده همرفت را با جزئیات پیشتر مشاهده کرد، ممکن است دارای پیچیدگی مشابهی با چینش قائم باد باشد. اگر چنین باشد، تشخیص آغازگری همرفت بر پایه فقط یک گمانهزن، خیلی مشکل خواهد بود.



شکل (۱۸). مقادیر انرژی پتانسیل در دسترس همرفت و بازدارنده همرفت محاسبه شده توسط فرازش، (a) بسته‌هوا بی‌کاربرد که از سطح زمین با فرض بدون آمیختگی، بسته‌هوا بی‌کاربرد با دمای پتانسیل و نسبت اختلاط بخار آب میانگین در ضخامت ۱۰۰ میلی‌باری زیرین، که تلاشی ضعیف برای تشکیل آمیختگی در مسیر رسیدن به تراز همرفت آزاد<sup>۵</sup> رخ می‌دهد، مقایسه شده است. مقادیر انرژی پتانسیل در دسترس همرفت (بازدارنده همرفت) به‌گونه‌ای که در شکل دیده می‌شود، در زمانی که بسته‌هوا با خصوصیات میانگین در ۱۰۰ میلی‌باری زیرین (لایه‌های با عمق مشابه) فرازش می‌باشد، در شب یا در سمت هوای سرد جبهه، جایی که هوای سرد کم‌عمق در نزدیک سطح زمین وجود دارد، نوعی کوچک است (برگرفته از مرکز پیش‌بینی توفان).



شکل (۱۹). در این گمانهزن دیده می‌شود که دمای هوای بسته‌هوا ریقیق شده (خط‌چین آبی کمرنگ) بدون وجود بازدارنده همرفت برای بسته‌هوا بی‌کاربرد میانگین دمای پتانسیل ۰ و نسبت اختلاط و بخار آب<sup>۶</sup> در ضخامت ۱۰۰ میلی‌باری مجاور سطح زمین (خط‌چین نارنجی) به دمای همرفت رسیده است. با وجود این هنوز الزامی برای آغازگری همرفت وجود ندارد. برای نمونه مسیر بسته‌هوا حاضر به طور بارزی می‌تواند از مسیرهای ترمودینامیکی انحراف پیدا کند، و فرض می‌شود بسته‌هوا با ویژگی‌های میانگین ترمودینامیکی در ۱۰۰ میلی‌بار زیرین، با توجه به مسیری که بسته‌هوا از درون لایه‌مرزی اختیار می‌کند، صعود می‌کند. مسیری که بسته طی می‌کند و اختلاطی که در حالت صعود انجام می‌گیرد، بستگی به نیمرخ باد محیط و ضخامت همگرایی در امتداد مرز توده هوا (در صورت وجود) دارد (Crook & Klemp, 2000). برای نمونه بسته‌هوا مسیر ارخوانی را پی می‌گیرد که در نمودار SkewT - log P ارائه شده است T ممکن است یا ممکن نیست که به سطح تراز اشباع بالارو برسد، که

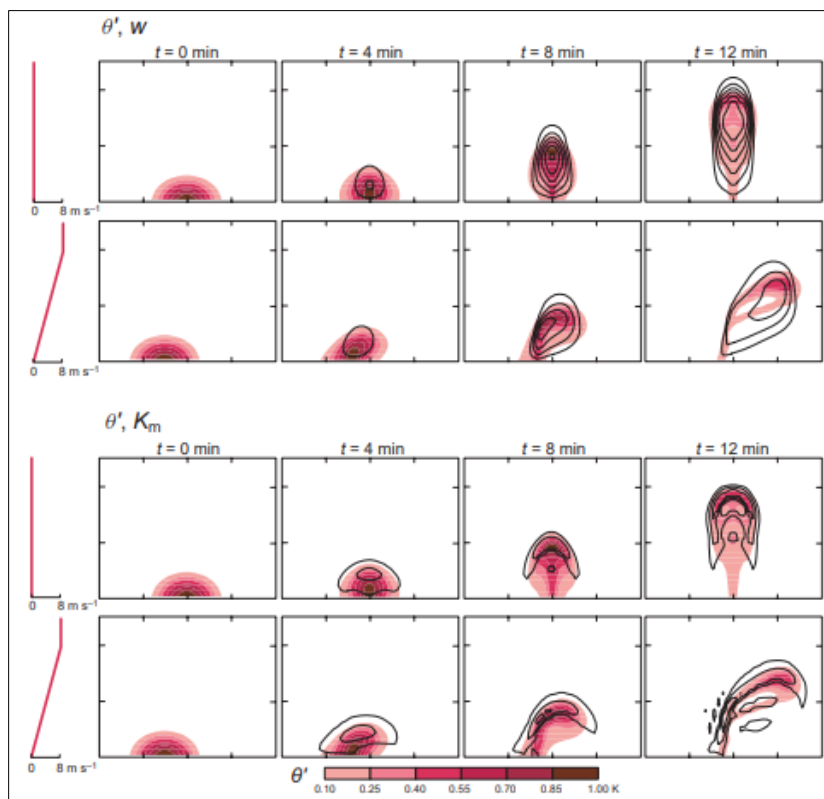
<sup>5</sup>. Lifting Condensation Level

بایستی برای عبور از منطقه منفی قابل ملاحظه و بهمنظور دستیابی به سطح تراز همرفت آزاد، فائق آید. گرچه در مثال بالا تأثیر جریان‌های ورودی در زیر تراز اشباع بالارو پر رنگ شده است ولی در جاهای دیگر جریان‌های ورودی در بالای تراز اشباع بالارو و تراز همرفت آزاد بهویژه برای گمانهزنی که شامل هوای خیلی خشک در بالای تراز اشباع بالارو باشد، مهم هستند.

با برآورد مقدار تضعیف ویژگی‌های ترمودینامیکی در درون بسته‌ی انتقال‌یافته به ارتفاعات بالاتر، با استفاده از میانگین دمای پتانسیلی و نسبت اختلاط بخارآب در  $50^{\circ}\text{C}$  تا  $100^{\circ}\text{C}$  هکتوپاسکالی مجاور سطح زمین، فرض شده است که آهنگ مقدار ورود هوای محیط به درون بسته در لایه  $50^{\circ}\text{C}$  تا  $100^{\circ}\text{C}$  هکتو پاسکالی مجاور سطح زمین، ثابت است. بدون شک این فرآیند، بیشتر اوقات به خوبی انجام نمی‌گیرد، ولی گاهی بهویژه هنگامی که چینش قائم باد ضعیف باشد به خوبی همرفت ژرف انجام می‌گیرد. به طور کلی درجه کاهش پریشیدگی دما و رطوبت بسته‌های بالارو به سبب افزایش آمیختگی در چینش باد قائم محیط و کثی بسته بالارو از قائم است (شکل ۲۰ و ۲۱).

این بدین معنا است که چینش قوی باد محیط دارای اثر بازدارنده بر آغازگری همرفت است. مگر اینکه به شکلی اثر چینش محیط توسط میدان باد که به شکل محلی توسط توده‌های لایه‌مرزی ایجاد می‌شود، جبران گردد. این تعادل بین چینش باد محیط و بسته‌های باد نمونه، چینش باد به دست‌آمده توسط شارش خروجی لایه‌مرزی که نقش مهمی در نگهداری سامانه‌های همرفتی بالغ ایفا می‌کند، در ادامه بررسی می‌شود. درجه‌ای از دما و رطوبت بسته بالارو که توسط آمیختگی با محیط کاهش می‌یابد نیز تابعی از ویژگی فیزیکی هوایی است که از محیط وارد بسته بالارو می‌شود. برای نمونه هرچه هوای محیط که به درون بسته بالارو وارد می‌شود خشک‌تر باشد، اتلاف شناوری پتانسیل، که ممکن است توسط محیط به درون بسته وارد شود، افزایش می‌یابد. در واقع ممکن است بسته بالارو هرگز به تراز اشباع بالارو یا تراز همرفت آزاد نرسد. دلیلی که مرزهای توده‌ی هوا، کوریدوری مناسب برای آغازگری همرفت مرتبط ژرف است، احتمالاً تداوم همگرایی و حرکت قائم در امتداد مرز توده هوا است که به شکل محلی می‌تواند ژرفای لایه مرتبط را افزایش دهد (& Banacos & Schultz, 2005)، بنابراین شرایط نامناسب ممکن است جریان‌های ورودی را به درون بسته کاهش داده و در پی آن بسته‌های بالارو به تراز اشباع همرفت آزاد برسد. حتی هنگامی که بسته به تراز اشباع برسد، هنوز باید اثر هوای محیط به درون بسته در شرایط محیطی نامناسب در بالای تراز همرفت آزاد بهمنظور توسعه همرفت مرتبط ژرف بررسی شود. فرض عمومی دیگر این است که همرفت زمانی آغاز می‌گردد که انرژی بازدارنده همرفتی از انرژی جنبشی لایه‌مرزی بالارو که ایجاد کننده واداشت است، کوچک‌تر شود (Jorgensen & Weckwerth, 2003). با استفاده از نظریه بسته، می‌توان نشان داد که کمترین سرعت قائم موردنیاز بسته کافی برای عبور از لایه انرژی بازدارنده همرفت به‌سوی تراز همرفت آزاد را خواهد داشت، به صورت عبارت زیر است.

$$\omega_{min} = \sqrt{2CIN} \quad \text{رابطه (۶)}$$



شکل(۲۰). خروجی عملکرد یک جفت شبیه‌سازی فرازش گرمایی در گذر از لایه‌مرزی پایدار خنثی با و بدون چینش باد قائم، در ردیف بالایی سطح مقطع در صفحه X-Z، پریشیدگی و دمای پتانسیل (قرمز)، سرعت قائم  $W$ ، (با فاصله خطوط  $1\text{ms}^{-1}$ )، در شبیه‌سازی بدون چینش قائم باد (ردیف بالا) و با چینش باد غربی ثابت در زیر  $2\text{ km}$  (ردیف پائین) را نشان می‌دهد. روی محورها فواصل دو کیلومتری با خط مشخص شده‌اند. سطح مقطع قائم مؤلفه باد غربی در قسمت چپ ردیف نشان داده شده است. دو ردیف پایینی سطح مقطع  $\theta'$  (ناحیه قرمز) و پیچک‌های چسبندگی  $K_m$  (با فاصله خطوط  $2\text{m}^2\text{s}^{-1}$  و شروع از  $2\text{ km}$ ) را برای شبیه‌سازی بدون چینش قائم (ردیف سوم از بالا) و شبیه‌سازی چینش باد غربی ثابت در زیر  $2\text{ km}$  (ردیف پائین) نشان می‌دهد.



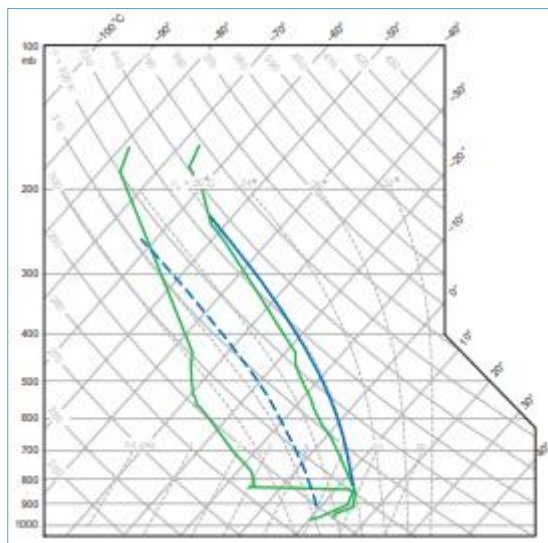
شکل(۲۱). به طور اثر زیان آور جریان های ورودی با کژی بیشتر جریان های بالارو(فراهنگ) افزایش می یابد. در این شرایط جریان بالارو نسبت به قائم کژی بیشتری پیدا کرده است (دودکش بسیار کوچکی در شکل پایینی با ناپدید شدن ابر دیده می شود). به طور متضاد اگر همرفت بتواند از اثر زیان آور چینش باد در مراحل اولیه همرفت نجات پیدا کند، چینش قائم باد می تواند سبب اثر تقویتی در همرفت های جوان شود.

که مشابه رابطه سرعت قائم بیشینه در لایه در برگیرنده انرژی پتانسیلی در دسترس همرفتی است. از دیدگاه پیش بینی، گمانه زنی به منظور ارزیابی انرژی بازدارنده همرفت به دلیل اینکه چندین ده تا چند صد کیلومتر نوعی از منطقه همگرایی لایه مرزی (Wilson et al., 1992) فاصله دارد، مشکل زا است؛ بنابراین هر چه فاصله از مرکز همرفت بیشینه پتانسیل بیشتر شود، نتایج گمانه زنی نامطلوب تر می شود. به علاوه، لایه مرزی بالارو که آغازگر همرفت مرتبط ژرف است اغلب بیش از آنکه مربوط به حباب های حامل تکانه قائم اولیه با مقادیر بالا باشد، با ناحیه همگرایی میان مقیاس همراه هستند، که ممکن است به شکل محلی، سبب شکستگی کلاهک وارونگی شده یا از باقیمانده انرژی بازدارنده همرفت عبور کند. به عبارت دیگر اغلب اثر میدان فشار مهم بوده، و می تواند کارایی معادله ۶ را محدود کند. به طور خلاصه آغازگری همرفت خیلی پیچیده تر از آن است که به سادگی به دمای همرفت برسد. این فرآیند، در گیر تمام حالت های میان مقیاس و گردش های در مقیاس ابر هست که به طور کلی قابل حل نیستند. به علاوه در گیر سایر فرآیندها مانند آهنگ آمیختگی و رطوبت در امتداد پره های فرازشی و ساختار سه بعدی این پره ها است.

زمان ماندگاری بسته های بالاروی میان مقیاس نقش مهمی در توسعه همرفت دارد؛ که در این حالت همرفت مرتبط ژرف فقط هنگامی امکان دارد که زمان موردنیاز برای عبور از راستای افقی به درون بسته از زمان لازم برای رسیدن به تراز همرفت آزاد بیشتر باشد. گرچه انرژی بازدارنده همرفت و حذف آن به احتمال آغازگری همروفت مربوط است، ولی این پدیده تنها بخشی از کل فرآیند است. شاید کاربردی ترین راهبرد پیش بینی ارزیابی همروفت با فرض وجود انرژی پتانسیل در دسترس همروفت، آگاهی از تداوم همگرایی تراز های زیرین وردسپهر در منطقه باشد، جایی که انرژی بازدارنده همروفتی کوچک است. تصاویر ماهواره ای مرئی به ویژه تصاویری که دارای تفکیک زمانی بالا(کمتر از ۱۵ دقیقه) هستند نیز برای پیش بینی های خیلی کوتاه مدت مفید است.

بنابراین همگرایی یا سرمایش ناشی از رطوبت نمی‌تواند بیشینه رطوبت محلی را ایجاد کند. اگر بدین شکل باشد، پس چه عاملی این فرایند را ایجاد می‌کند؟

در نهایت نسبت اختلاط بخارآب زیاد محلی در منطقه همگرایی در امتداد مرز توده‌های هوا مشاهده می‌شود. همگرایی رطوبت، برازش خوبی با همگرایی سرعت افقی باد ( $\Delta V_h$ ) دارد که با سرعت قائم همراهی می‌کند؛ بنابراین همگرایی رطوبت با ژرف شدن رطوبت لایه‌مرزی همراه است. ژرف شدن رطوبت لایه‌مرزی رقیق شدگی بسته‌های فرازشی را به‌گونه‌ای که از نزدیک سطح زمین تا تراز اشباع بالارو و تراز همرفت آزاد انتقال می‌یابد، کاهش می‌دهد؛ بنابراین مناطق دارای رطوبت ژرف‌تر ممکن است برای آغازگری همرفت نسبت به محیط اطراف مناسب‌تر باشد. بسته‌های در چنین موقعیتی با انتقال بسته‌های سطح زیرین به تراز همرفت آزاد، انرژی پتانسیل در دسترس همرفتی بیشتری را به دلیل کاهش کمتر  $\Theta$  ایجاد می‌کند.



شکل (۲۲). نمونه‌ای از یک گمانه‌زنی شامل انرژی پتانسیل در دسترس همرفت ارتفاع یافته بدون انرژی پتانسیل در دسترس همرفت سطح زمین. بسته‌ای از هوا از سطح زمین در مسیر خط‌چین آبی بالا می‌رود جایی که بسته‌های بالا رفته از بام لایه پایدار مسیر خط پر آبی را طی می‌کند.

با بازگشت به سؤال اصلی در ابتدای پاراگراف قبل، افزایش ژرفای رطوبت، بدین معنی است که آمیختگی قائم به قطرات کوچک یا بدون آن، در تجمع رطوبت در سطح زیرین در مقایسه با هوا کم رطوبت محیط اطراف منجر به مقایسه با محیط اطراف می‌شود؛ که در آن آمیختگی قائم می‌تواند کاهش قابل ملاحظه‌ای را در تجمع رطوبت در سطح ایجاد کند؛ بنابراین بیشینه محلی تجمع بخارآب می‌تواند در سطح مناطقی که رطوبت لایه‌مرزی ژرف‌تر از محیط اطراف است رخ دهد. با نمایش ریاضی، می‌توان بیشینه رطوبت محلی با اختلاف افقی در فرارفت قائم بخارآب را نشان داد. بیشینه ایجاد شده با این فرآیند از  $I_{Vh}$  که در اصل در میدان‌های بخارآب وجود دارد تجاوز نمی‌کند.

#### همرفت ارتفاع یافته

طفوفان‌های همرفتی با گرچه به‌طور صریح بیان نشده است، ولی تمرکز اصلی بر آغازگری همرفت مرطوب ژرف از سطح زمین است. این بدین معنی است که همرفت مرطوب ژرف، شار ورودی خود را از مجاورت هوایی که در تماس با سطح نزدیک به بالاروی است، به دست می‌آورد. گرچه این همرفت ضرورتی ندارد که مستقیماً در زیر منطقه بالارو باشد زیرا معمولاً جبهه جستی با فاصله کوتاهی در حد چند کیلومتر، حتی در موارد همرفت مرطوب ژرف شدید و طولانی‌مدت، می‌تواند منجر به بالاروی شود.

همرفت بر پایه سطح زمین نیاز دارد تا هوای در تماس با سطح زمین بتواند تا تراز همرفت آزاد بالا رود. در لایه‌مرزی بالرژی باز دارنده زیاد، بسته‌ها این امکان را ندارد تا از سطح زمین به تراز همرفت آزاد، حتی اگر دارای مقداری انرژی آزاد همرفتی باشد، بالا رود. به عبارت دیگر بسته‌هایی که از فراز لایه پایدار کم ارتفاع زیرین بالا می‌رود، ممکن است دارای انرژی بازدارنده همرفتی نسبی کم و انرژی پتانسیل همرفتی آزاد نسبی زیاد باشد. چنین بسته‌هایی می‌تواند فرآیندی را که همرفت مرتبط ژرف ارتفاع یافته شناخته می‌شود، پشتیبانی کند. در تضاد با سطح پایه همرفت مرتبط ژرف، همرفت مرتبط ژرف ارتفاع یافته در بالای لایه‌مرزی پایدار شکل می‌گیرد و شارش ورودی خود را از لایه‌ای که در تماس با سطح نزدیک به طوفان نیست، کسب می‌کند. همرفت مرتبط ژرف ارتفاع یافته بیشتر در شب، در بالای لایه‌مرزی شباهه و بخش قطب سوی جبهه‌ی گرم، بهویژه هنگامی که جت تراز زیرین بر روی جبهه‌ی گرم مستقر می‌شود، رخ می‌دهد. در نمونه دوم، بسته‌ها از روی سطح جبهه تا هنگامی که به تراز همرفت آزاد برسد بالا می‌رود. این بالاروی گاهی تا ۱۰۰ کیلومتر از ناحیه استقرار هوای شناور ادامه می‌یابد. شکل ۲۲ گمانه‌زنی نوعی به دست آمده در درون محیطی که در ارتباط با همرفت مرتبط ژرف ارتفاع یافته در قطب‌سوی جبهه گرم است را نشان می‌دهد. توجه شود که بسته‌های بالا رفته قادر نبودند از ارتفاع پتانسیل در دسترس همرفتی با مقیاس ۱۰۰۰ ژول بر کیلوگرم است. گاهی همرفت مرتبط ژرف توسط جبهه سرد بالا آغاز می‌گردد که این فرایند چند صد کیلومتر در جلوی جبهه سطحی یا خط خشک رخ می‌دهد.

در این وضعیت، همرفت مرتبط ژرف در آغاز ارتفاع یافته است. اگر هنگامی که شارش قائم تراز زیرین به شکلی که بتواند سبب انتقال بسته‌های هوای سطح زمین به تراز همرفت آزاد شود، همرفت مرتبط ژرف ارتفاع یافته می‌تواند از سطح زمین نشئت‌گرفته باشد.

شاید عبارت بستری برای همرفت مرتبط ژرف ارتفاع یافته، همرفت مرتبط ژرف غیرسطحی باشد، زیرا پایه ابر همرفت مرتبط ژرف ارتفاع یافته آن‌گونه که عبارت ارتفاع یافته اشاره دارد، نیازی به ارتفاع ندارد. با وجود این، به‌گونه‌ای که اغلب در جنوب غربی آمریکا جایی که تراز همرفت بالارو مربوط به همرفت پایه سطحی در فصل گرم، روزمره بالاتر از ۳ کیلومتر است، همرفت پایه سطحی می‌تواند در ارتفاعات بالا بر اساس محیط خشک نسبی قرار داشته باشد. همرفت مرتبط ژرف ارتفاع یافته در مقایسه با همرفت مرتبط ژرف سطحی، خطر کمتری از رخداد باد شدید مانند پیچندها و باد مستقیم زیان‌بخش، ایجاد می‌کند. خطرات اصلی ناشی از همرفت مرتبط ژرف ارتفاع یافته عبارت است از تگرگ و سیل. بادهای سطحی زیان‌بخش به دلیل اینکه فروهنچ‌ها از قابلیت کمتری برای نفوذ به توده‌های پایدار ترازهای زیرین برخوردار است، احتمال کمتری در همرفت مرتبط ژرف ارتفاع یافته دارد. شناوری منفی فروهنچ‌ها که با ترازهای زیرین پایدار مواجه می‌شود کاهش می‌یابد. پیچندها نیز شاید به دلایل زیر بهندرت به همرفت ارتفاع یافته مربوط می‌شوند. بررسی‌ها نشان می‌دهند که فروهنچ‌ها با پیچندها در ارتباط‌اند و اگر از فروهنچ‌ها جلوگیری به عمل آید احتمال ایجاد پیچند، بسیار کمتر خواهد شد. گاهی شدیدترین همرفت بر پایه همرفت سطحی است، زیرا معمولاً بالاترین امکان برای فروزنی یافتن دمای بسته‌های از محیط اطرافش، هنگامی که بسته‌های نزدیک به سطح زمین حرکت بالا می‌شوند. برخورد با پیچند، بسیار کمتر داشته باشد، رخ می‌دهد. به علاوه لایه‌مرزی به دلیل اثر نیروی کشش سطحی بر روی بادهای تراز زیرین گرایش به ایجاد  $\Theta_e$  لایه‌ای دارد که در آن لایه، چینش باد بیشینه باشد. طوفان‌های همرفتی با نبود درون‌شارش از لایه‌مرزی، نمی‌توانند از چینش شدید باد که اغلب در لایه‌مرزی وجود دارد، بهره ببرند.

### ساخთار همرفت منفرد

برخی به صورت گسسته و تا اندازه‌ای به شکل یاخته‌های منفرد و برخی دیگر در درون خطوط و پهنه‌های گستردۀ رخ می‌دهند. ساختمان طوفان‌های همرفتی می‌تواند بر مخاطره‌های ناشی از بادهای زیان‌بخش، تگرگ شدید، سیلاب‌های مخرب و پیچندها اثرگذار باشد. تعیین اینکه کجا و چه زمانی طوفان‌های همرفتی آغاز می‌شوند، از تعیین دامنه نوع طوفان که در رخداد طوفان همرفت آغاز می‌شود، مشکل‌تر است. بیشتر آگاهی از رابطه بین طوفان و محیط اطراف آن اغلب از مطالعات

پیش‌بینی عددی که در آن خصوصیات محیط مهار می‌شود، به دست آمده است. در مطالعات اخیر در مدل‌سازی طوفان تندری، دیده می‌شود که هم‌رفت، با جایگذاری کردن توده‌های گرم به درون ترازهای پایین محیط ناپایدار شرطی آغاز می‌شود. توده‌های گرم آغازگری جریانات بالاسو را تداوم می‌بخشد و تکوین بعدی هم‌رفت به فراسنج‌هایی مانند چینش باد قائم و کلاهک وارونگی محیط در کنار سایر فراسنج‌ها، بستگی دارد.

رابطه بین محیط پیرامون و هم‌رفت‌های منفرد که ممکن است در شبیه‌سازی آرمانی از توده گرم یا همگرایی محلی ایجاد شود، بررسی می‌شود. سامانه‌های بزرگ مقیاس هم‌رفتی می‌توانند با واداشت‌های کمتری سبب بالاروی گستردگی توده هوا بر روی سطح جبهه تا تراز هم‌رفت آزاد شوند.

#### نقش چینش باد قائم

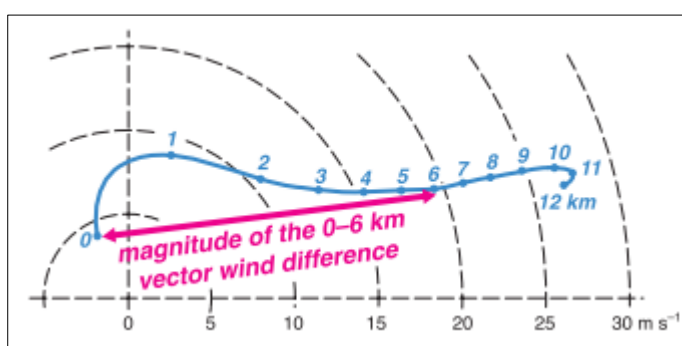
ساختار هم‌رفت مرطوب ژرف می‌تواند تحت تأثیر چینش باد، انرژی پتانسیل در دسترس هم‌رفتی، رطوبت نسبی، و توزیع قائم هر یک از این متغیرها در کنار سایر عوامل مؤثر دیگر، قرار گیرد.

فراسنج چینش قائم باد، از فراسنج‌های یاد شده بالا، احتمالاً تأثیر خیلی بیشتری بر ایجاد طوفان اعمال می‌کند. چینش قائم باد گرایش به فعال شدن بیشتر ساختار طوفان و تداوم آن دارد. گرچه افزایش چینش قائم باد می‌تواند مضر بر جریان‌های ضعیف بالاسوی لایه‌های زیرین طوفان در حاشیه‌ی ناپایداری محیط باشد. درست به گونه‌ای که چینش قوی قائم باد می‌تواند مضر بر آغازگری هم‌رفت توسط افزایش جریان‌های درون‌سو در لایه‌های زیرین طوفان باشد.

گرچه سنجه‌های بسیاری برای چینش قائم باد و توابی افقی مربوط به آن تعریف شده است، فرانسنجی که می‌تواند کمی سازی چینش قائم باد و پیش‌بینی انواع طوفان را بخوبی عملی سازد، اختلاف برداری باد بین ۰ تا ۶ کیلومتر است. این سنجه، با وجود اینکه واحد چینش را ندارد، ولی گاهی چینش لایه ۰ تا ۶ کیلومتر نامیده می‌شود، شکل(۲۳)، مقادیر چینش لایه ۰ تا ۶ کیلومتر اگر کمتر از ۱۰ متر بر ثانیه باشد، ضعیف و اگر بین ۱۰ تا ۲۰ متر بر ثانیه باشد متوسط و بالاتر از آن قوی محسوب می‌گردد.

سنجه دیگری که چینش و انرژی پتانسیل در دسترس هم‌رفتی را ترکیب می‌نماید، و عدد ریچاردسون کپهای<sup>۶</sup> نام دارد، نیز برای پیش‌بینی انواع طوفان به کار گرفته می‌شود. این سنجه به صورت زیر تعریف می‌شود:

$$BRN = \frac{CAPE}{\frac{1}{2} U^2} \quad (7)$$



شکل (۲۳). رابطه بین بزرگی اختلاف بردار باد ۰-۶ کیلومتر یا "چینش ۰-۶ کیلومتر" و هودوگراف نشان دهنده ارتفاع از سطح زمین است. در این شکل نقطه روی هودوگراف با برچسب "۰" پایین ترین ارتفاعی است که باد در آن اندازه‌گیری می‌شود، که معمولاً چند متر بالاتر از سطح زمین است. بزرگی اختلاف بردار باد ۰-۶ کیلومتری به خوبی بین انواع طوفان متمایز است.

<sup>6</sup>. Bulk Richardson Number

U بزرگی اختلاف برداری باد متوسط لایه ۰ تا ۶ کیلومتری و باد متوسط لایه ۰ تا ۵۰۰ متر است. گرچه، آشکار است که انرژی پتانسیل در دسترس همرفت معیاری از شدت پتانسیل جریان بالاسو است، اما فرض می‌شود که معروف شدت برون‌شارش لایه‌های بالای تولید شده توسط تبخیر، ذوب، تصعید رطوبت درون طوفان نیز باشد. در این حالت انرژی پتانسیل در دسترس همرفتی بزرگ‌تر، با هوای سرد قوی‌تر تراز میانی همراهی دارد.

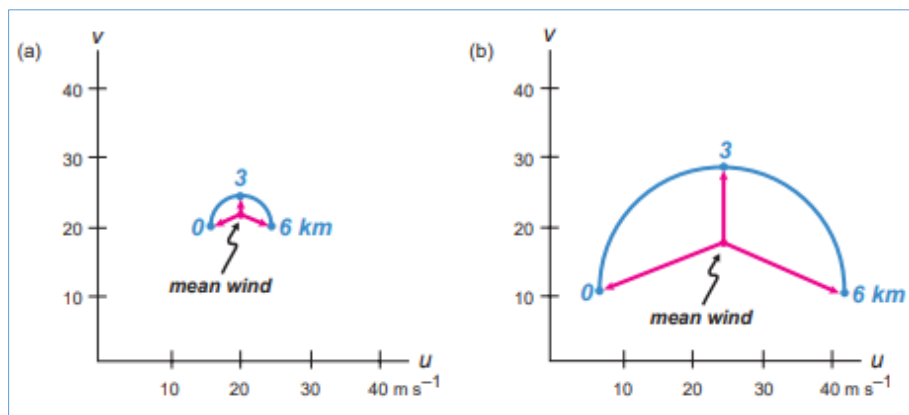
شدت برون‌شارش تنها هنگامی با انرژی پتانسیل در دسترس همرفتی افزایش می‌یابد که نیمروز قائم رطوبت نسبی محیط ثابت باقی بماند. شدت جریان پایین‌سو و برون‌شارش، در کل، به عوامل بسیاری بستگی دارد که جرم میان شده ناشی از جریان بالاسو یکی از آن‌هاست.

در رابطه بالا، با توجه به مخرج کسر، اگر باد متوسط لایه ۰ تا ۶ کیلومتر معرف خامی از حرکت طوفان باشد، آنگاه U برآورده از باد ۰ تا ۵۰۰ متر نسبت به طوفان است و بنابراین  $U^{1/2}$  معیاری از انرژی جنبشی درون‌شارش است. هرقدر انرژی جنبشی درون‌شارش نسبت به طوفان بزرگ‌تر باشد به همان میزان برون‌شارش مهار می‌شود و عدد ریچارسون کپهای بر اساس این آرمان تعریف شده است که سنجه تقریبی از توازن بین درون‌شارش و برون‌شارش را به دست دهد. با فرض اینکه شدت برون‌شارش به خوبی توسط انرژی پتانسیل در دسترس پیش‌بینی شود و بخشی از این توازن به ساختار تداوم و شدت طوفان وابسته باشد.

درون‌شارش و برون‌شارش برای مقادیر کوچک عدد ریچارسون کپهای (کمتر از ۵۰۰) گرایش به هماهنگی نسبی خوبی با هم دارند و منجر به تداوم و شدت بیشتر طوفان‌ها می‌شوند. از طرف دیگر، عدد ریچارسون کپهای بزرگ (بیشتر از ۵۰۰) بیان می‌کند که برون‌شارش می‌تواند بر درون‌شارش تسلط یافته و جریان بالاسو را قطع کند، که منجر به سلول‌های با عمر نسبی کوتاه می‌شود. اگر چه سلول‌های جدید بسته به جنبه‌های محیط، می‌توانند توسط جبهه و حتی طوفان متوالی شکل بگیرند، که در نتیجه منجر به سامانه همرفتی می‌شود که سلول‌های منفرد با عمر کوتاه را از بین می‌برد. چینش باد ظاهر شده در مخرج عدد ریچارسون کپهای نیز سنجه‌ای از توانایی جریان بالاسو برای به دست آوردن چرخش از طریق کج شدن تاوایی افقی است. از این‌رو مقدار کم عدد ریچارسون کپهای بیان می‌کند که جریان بالاسو می‌تواند چرخش‌های بارزی را توسعه دهد. طوفان‌هایی که دارای جریان بالاسوی قوی هستند به عنوان ابریاخته‌ای شناخته می‌شوند که عهده‌دار وضع هوای مخرب هستند. گرچه عدد ریچارسون کپهای دارای بیشترین واریانس در طوفان‌های نوعی شبیه‌سازی عددی است، ولی فضای فراسنج چینش انرژی پتانسیل در دسترس همرفتی را جستجو می‌کند. معمولاً پیش‌بین‌ها بزرگی مقدار چینش قائم باد را بررسی می‌کنند؛ زیرا طوفان‌های نوعی قوی و شدید (Doswell, 2001)، تابعی از چینش قائم باد است تا انرژی پتانسیل در دسترس همرفتی. دیدبانی‌ها چنین نشان می‌دهند که تولید انرژی پتانسیل در دسترس همرفتی و چینش قائم باد ممکن است تولید کننده بهتری از طوفان‌های نوعی، حداقل در سرانجام برخی از انواع طوفان‌ها باشد. برای نمونه، آهنگ توسعه‌ی تاوایی قائم در درون یاخته‌ها، با کجی تاوایی افقی، متناسب با چینش قائم، ضرب در تندی جریان بالاسو است و تندی جریان بالاسو متناسب با جذر انرژی پتانسیل در دسترس همرفتی، حداقل در درون محدوده نظریه بسته است. دلیل اینکه چرا چینش قائم باد منجر به تشدید سازمان، طول عمر، شدت همرفت مرطوب ژرف می‌شود (Fovell & Ogura, 1989)، به دو علت زیر است:

اولین دلیل این است همان‌گونه که چینش قائم باد بر روی جریان بالاسو در لایه آمیختگی، ژرفای لایه همرفت را افزایش می‌دهد و آن را گاهی فرآیند چینش لایه‌ی ژرف شدگی می‌خوانند. باید بررسی شود که ریزش بارش و ریزش هوای سرد که سبب برون‌شارش می‌شود، تا چه اندازه جریان بالاسوی لایه‌ی آمیختگی را کند و ژرفای لایه‌ی آمیختگی را کاهش می‌دهد. در شرایطی که ریزش بارش نسبت به جریان‌های بالاسو می‌شود، دارد. در این حالت هوای شتاب‌دار افقی لایه زیرین آمیختگی بر بالاسو، یعنی هنگامی که وارد جریان‌های بالاسو می‌شود، دارد. در سیر قائم بالاسو که سبب رشد ذرات آبدار به درون لایه شده، سبب بزرگی اندازه بارش، می‌گردد. در واقع ورود تکانه به درون جریان‌های بالاسو که همراه با هم‌گرایی افقی لایه‌های زیرین است و جریان‌های بالا سوی لایه‌ی آمیختگی را افزایش

می‌دهد، هوای شتابدار افقی لایه زیرین سبب انتقال بیشتر ذرات آب‌دار به درون لایه‌ی آمیختگی شده و در مسیر جریان قائم همراه با جریان‌های بالاسو به درون ابر انتقال می‌یابد. در نتیجه، سبب بزرگی ذرات بارش می‌گردد و همراه با آن میدان باد نسبی طوفان در سرتاسر مسیری که بارش بر روی زمین ریزش می‌کند، افزایش می‌یابد. شتاب افقی لایه‌ی زیرین آمیختگی می‌تواند نتیجه‌ای از همگرایی افقی در  $P'd$  یا  $P'b$  لایه زیرین باشد. بادهای نسبی قوی طوفان تراز بالا، گرایش به افزایش مقدار (بزرگی) چینش باد لایه ژرف دارد که همراه با چینش قوی محیط نیز است (شکل ۲۴).

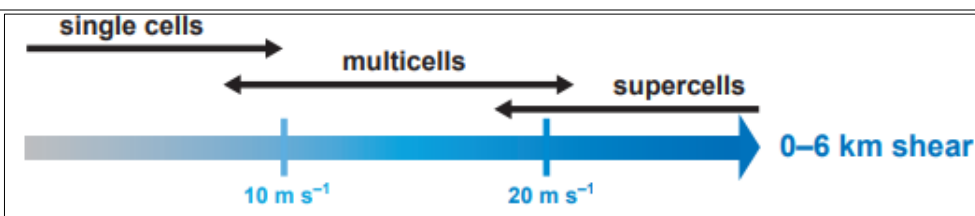


شکل (۲۴). رابطه بین چینش قائم باد و بادهای مرتبط با طوفان. هودوگراف در (a) نمایه باد عمودی را با چینش ضعیف نسبت به هودوگراف در (b) نشان می‌دهد. طول هودوگراف در (a) بسیار کوتاه‌تر از (b) است. بردارهای باد مربوط به طوفان (سرخابی) در ۰، ۳ و ۶ کیلومتر برای هر دو مورد، با فرض حرکت طوفان تقریباً برابر با میانگین باد تعریف شده توسط هر هودوگراف، روی هم قرار می‌گیرند. طول بردارهای باد نسبت به طوفان مناسب با بزرگی بادهای مربوط به طوفان است. محور قائم هودوگرافها ارتفاع از سطح زمین را نشان می‌دهد.

علاوه، باد نسبی طوفان قوی در ترازهای زیرین، حرکت جبهه‌های چینشی را نسبت به جریان‌های بالاسو مهار می‌کند. در نتیجه محدودیت گرایش بارندگی و برونشارش هوای سرد در زیر جریان‌های بالاسو به وجود می‌آورد. دومین دلیل اینکه چرا چینش باد قائم می‌تواند نقش مهمی در تشديد تأثیر روی همرفت مرتبط ژرف داشته باشد، وجود توسعه گرادیان فشار قائم دینامیکی است. به گونه‌ای که دیده می‌شود چینش ترازهای زیرین، دارای تأثیر بارز و آشکاری بر روی هوا در امتداد جبهه چینشی است. در نتیجه دارای مهار آشکاری است بر روی توانایی جبهه چینشی نسبت به آغازگری یاخته‌های جدید که به ازای آن، همرفت مرتبط ژرف را سازمان‌دهی می‌کند. بالاروی قوی هوا به هر دو گرادیان  $P'd$  یا  $P'b$  وابسته بوده، در نتیجه مهار بارزی بر روی توانایی جبهه جستی در آغازگری یاخته‌های جدید همرفتی دارد؛ که بهنوبه خود در سازمان‌دهی همرفت ژرف مرتبط اثرگذار است. در چینش ضعیف محیط، بالاروی هوای محیط توسط جبهه جستی بهطور نسبی ضعیف است؛ بنابراین حداقل در هر روش سازمان‌یافته و قابل پیش‌بینی، منجر به آغازگری یاخته‌های جدید نمی‌شود. اگر انرژی باز دارنده همرفتی خیلی کوچک باشد، حتی بالاروی های کوچک توسط جبهه‌های جستی می‌تواند یاخته‌های جدیدی را سازمان‌دهی کند. این همرفت به صورت غیرسازمان‌یافته با طول عمر کوتاه است که گاهی به عنوان همرفت تک‌یاخته‌ای خوانده می‌شود. این نمایی از همرفت شناسایی شده در شبیه‌سازی‌ها است که آغازگری آن با مقادیر بالای عدد ریچارسون کپهای می‌باشد. در چینش متوسط محیط، بالاروی هوا در امتداد جبهه جستی و در کنار جریان‌های خروجی هوا تشديد شده که منجر به آغازگری چندباره یاخته‌های همرفتی جدید می‌شود. بهطوری که می‌توان آن را همرفت چندیاخته‌ای خواند. این نمایی از همرفت شناسایی شده در شبیه‌سازی‌هایی است که آغازگری آن با مقادیر متوسط عدد ریچارسون کپهای می‌باشد.

همان‌طور که پیش‌ازین اشاره شد، چینش بزرگ محیط منجر به شکل‌گیری ابریاخته‌ها می‌شود. نه تنها کج شدگی محور تاوایی افقی منجر به چرخش شدید طوفان می‌شود، بلکه گرادیان فشار قائم دینامیکی بهویژه اگر توزیع چینش بر روی کسر بارزی از ژرفای ابر وجود داشته باشد، با چینش شدید محیط همراهی می‌کند. انتشار چینش طوفانی توسط نیروهای گرادیان

فشار قائم لایه ژرف که از جبهه جستی است، انجام می‌گیرد. این نمایی از همرفت شناسایی شده در شبیه‌سازی‌ها است، که آغازگری آن با مقادیر کم عدد ریچارسون کپهای همراهی می‌کند. شکل ۲۵ خلاصه‌ای از رابطه‌ی بین انواع مختلف طوفان و چینش قائم باد ارائه می‌دهد. برخی از منابع افزایش سازماندهی، طول عمر، و شدت طوفان را به کج شدگی محور بالارو ارتباط می‌دهند؛ و چنین بیان می‌کنند که چینش، باعث پیشرفت کج شدگی محور بالارو شده و به طوری که ذرات هوا آب را می‌تواند بدون سقوط در درون بالاروی هوا، ریزش کند. در غیر این صورت بالاروی هوا کاهش می‌یابد. بسیاری از طوفان‌های همرفتی که در محیط‌های با چینش زیاد رخ می‌دهد، دارای بالاروی شدیدی هستند. در واقع بالاروی های دارای کج شدگی بیشتر تحت اثر منفی محیط قرار داشته، و به همان‌گونه که در ادامه بحث خواهد شد تحت تأثیر منفی گرادیان قائم فشار پرشیدگی شناوری نیز قرار دارد ( $\frac{\partial p}{\partial Z}$ ). کجی بالاروی به چینش قائم و شدت بالاروی بستگی دارد. شدت بالاروی به‌گونه‌ای که در بالا و در ادامه بیشتر بحث خواهد شد، می‌تواند توسط چینش قائم تشدید گردد. چینش قائم می‌تواند باعث تشدید بالاروی گردد. به‌گونه‌ای که در بخش‌های زیر خواهد آمد این شرایط بهویژه هنگامی صحیح است که طوفان باعث توسعه جریان‌های برون‌شارشی خنک شده توسط باران شود. به‌موقع برخی طوفان‌های همرفتی شدید با طول عمر زیاد، نسبتاً دارای بالاروی کج شده بوده و گاهی فاقد آن است، نشان می‌دهد که کج شدگی بالاروی نمی‌تواند به‌خوبی طول عمر یا شدت طوفان را پیش‌بینی کند. توانایی جبهه جستی با بالاروی‌های تراز میانی که عامل بالاروی هوا است به‌نوعی دارای اهمیت می‌باشد.



باد جستی قادر به را اندازی سلول‌های جدید، حداقل به شکل سازمان یافته نیست؛ همرفت بلند شدن باد جستی کنترل می‌شود.	باد جستی سلول‌های جدید را به‌طور مکرر شروع می‌کند، انتشار سیستم با بلند شدن باد جستی هدایت می‌شود.	جریان‌های صعودی می‌توانند شبه ثابت باشند. انتشار با شبیب فشار عمودی که بر روی یک لایه عمیق امتداد می‌یابد، به جای بلند شدن باد جستی کنترل می‌شود.
--	---	--

شکل (۲۵). طیف انواع طوفان به‌عنوان تابعی از برش عمودی باد. اگرچه برش عمودی بیشترین تأثیر را بر نوع طوفان دارد (Richardson, Droege, & Davies-Jones, 2007) (به‌عنوان مثال، توزیع عمودی شناوری، رطوبت و برش، و همچنین ابزاری که طوفان‌ها توسط آن آغاز می‌شوند)؛ بنابراین، برخی از همپوشانی بین انواع طوفان در این تصویر تک پارامتری ساده وجود دارد. رابطه بین مقادیر برش باد عمودی و ماهیت بازسازی/اتکثیر سلول نیز نشان داده است.

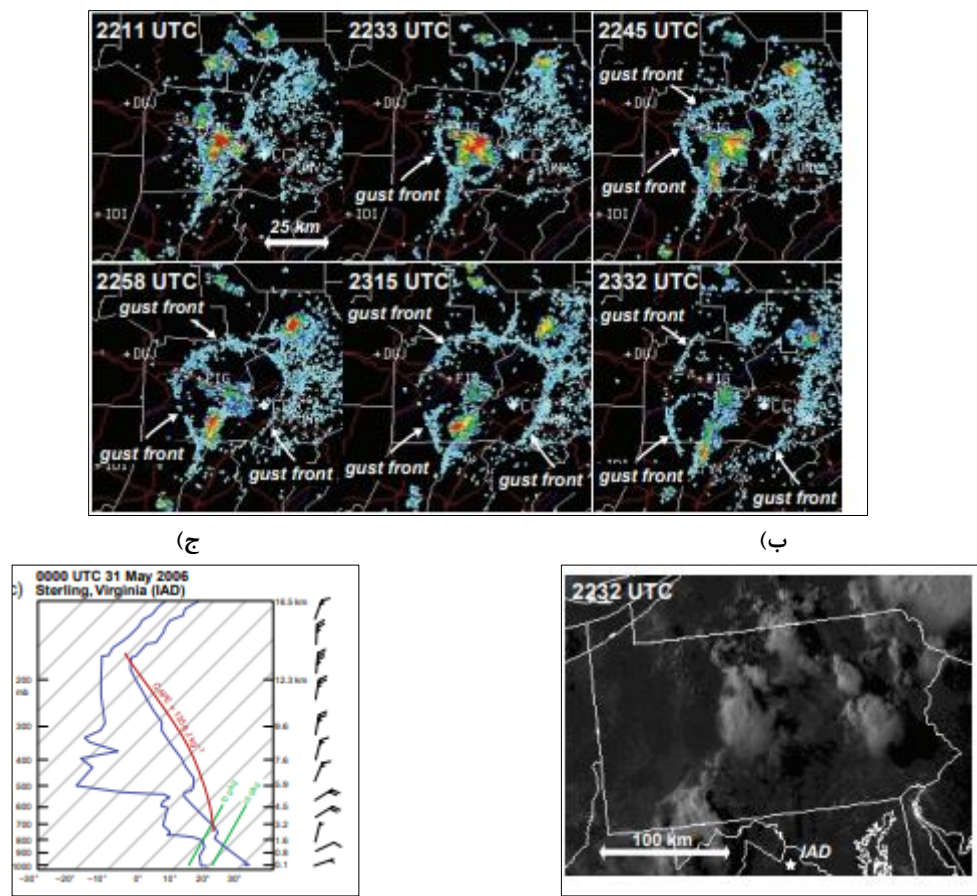
ویژگی‌ها و محیط توفان‌های تک‌یاخته، چندیاخته، و ابریاخته در بخش‌های بعدی بحث می‌شوند. لازم به گفتن است که مطالعات مدل‌سازی عددی پیش گفته که بسیاری از دانش فعلی ساختار همرفت مرطوب ژرف بر پایه آن قرار دارد، محیطی را که به‌طور افقی همگن بوده و به زمان بستگی ندارد، شبیه‌سازی می‌کند. وجود مشاهدات فراوان و شبیه‌سازی‌های عددی آرمانی، چنین ارائه می‌دهد که ناهمگنی فضایی محیطی منجر به تغییرات شدید در رفتار و ریخت‌شناسی طوفان می‌شود. به‌علاوه شرایط میان‌مقیاس و هم‌دیدی به‌ندرت با زمان تغییرناپذیر است. اخیراً همرفتی که در چینش ضعیف آغاز شده و در زمان بعدی با چینش شدید روبرو می‌شود، بررسی شده است. شبیه‌سازی‌های آرمانی ارائه می‌دهد که اگر چینش باد قائم ضعیف شود در حالی که همرفت ادامه دارد، همرفت می‌تواند از ابریاخته به چند یاخته تبدیل گردد؛ اما اگر چینش باد شدید یابد در حالی که همرفت ادامه دارد، همرفت ایجاد شده توسط هوای سرد لایه‌های میانی و چندیاخته‌ای نمی‌تواند به سادگی به همرفت ابریاخته که توسط هوای سرد لایه‌های میانی ایجاد نشده، تبدیل گردد. به نظر می‌رسد که هوای سرد لایه‌های میانی، گونه‌ای از سختی دینامیکی را فراهم می‌کند که تغییر رفتار سامانه همرفتی ایجاد شده توسط هوای سرد لایه‌های میانی را دشوار می‌سازد. توفان‌های شبیه‌سازی شده نیز به طریقی با واداشت‌های قوی آرمانی مانند حباب‌های گرم

منفرد آغاز می‌شوند. ساختار همرفت ژرف مرطوب می‌تواند نسبت به روشی که آغاز می‌گردد حساس باشد. برای نمونه همرفت با آغازگری حباب‌های گرم در مقابل هوای سرد در مدل‌های عددی و بالقوه با در نظر گرفتن ابعاد افقی و قائم، رخ می‌دهد.

#### همرفت تک‌یاخته‌ای

همرفت تک‌یاخته‌ای عبارتی از همرفت‌های ژرف مرطوب مختلف است که فقط شامل یک حرکت بالاسو بوده و همرفت‌های بعدی را در هیچ شکل سازمان یافته‌ای آغاز نمی‌کند. بالاروی هوا در امتداد جبهه جستی با چینش ضعیف محیطی، ضعیف و کم است؛ بنابراین ایجاد آغازگری یاخته‌های جدید همرفتی توسط جبهه‌هایی که با یاخته‌های منفرد تولید می‌شوند، مشکل است. از این‌رو تعداد نوعی از یاخته‌های گسسته وجود دارد که توسط واداشت میان‌مقیاسی که همرفت مرطوب ژرف را در یک روز خاص آغاز می‌کند، ایجاد می‌شود. یاخته‌های جدید همرفت اغلب توسط برخورد با برونشارش لایه‌های بالا که واداشت بالاروی قوی‌تری را نسبت به هر یاخته‌ی منفردی فراهم می‌کند، آغاز می‌شود. این تکوین همرفت باید از تکوینی که آن را همرفت چندیاخته‌ای که در آن یاخته‌های جدید به طور متوالی آغاز می‌گردند، تشخیص داده شوند. این شرایط معمولاً در بخشی از یاخته اولیه به شدت سازمان یافته و یا خطی از یاخته‌های همرفتی که نسبت به طول عمر نوعی یک یاخته منفرد، برای مدت طولانی‌تری باقی می‌مانند، دیده می‌شود. وجود چینش قائم ضعیف در محیط همرفتی تک‌یاخته‌ای معمولاً همراه با واداشت‌های ضعیف همدیدی هستند. توسعه گمانه‌زنی‌هایی که همرفت تک‌یاخته‌ای را پشتیبانی می‌کند، معمولاً بیش از آنکه تحت تأثیر بزرگ‌مقیاس یا فرارفت دما یا رطوبت باشند، تحت تأثیر چرخه شبانه‌روزی لایه‌مرزی محلی قرار دارد؛ بنابراین همرفت تک‌یاخته گرایش دارد که تقریباً نزدیک به یا کمی بعد از زمان بیشینه گرمایش روزانه، یعنی زمانی که انرژی باز دارنده همرفتی کمترین و انرژی پتانسیل در دسترس همرفتی بیشترین است، رخ دهد. پس از آن یاخته همرفتی گرایش دارد که به سرعت از بین برود. این سلول‌های تک‌یاخته‌ای گاهی باعث تولید تگرگ یا بادهای جستی شدید می‌شوند. هنگامی که وضع هوای مخرب شود، معمولاً این هوا همراه با تغییرات ناگهانی، باد جستی کوتاه‌مدت با سرعتی حدود ۲۵ متر بر ثانیه و دشوار برای هشدار دهی، می‌باشد. گرچه انرژی پتانسیل در دسترس همرفتی می‌تواند در دامنه‌ای بین چند ۱۰۰ یا بیش از ۲۰۰۰ ژول بر کیلوگرم تغییر کند، هوای مخرب ناگهانی معمولاً در محیطی با انرژی پتانسیل در دسترس همرفتی زیاد، با بیش از ۲۰۰۰ ژول بر کیلوگرم به وجود می‌آید. سرعت‌های بالاروی بیشینه به شدت متغیر و احتمالاً تابعی قوی از انرژی پتانسیل در دسترس همرفتی است. گرچه این بدین معنی نیست که سرعت بالاروی، هماهنگی زیادی با نظریه بسته‌هوا دارد. تندی بالاروی بیشینه ممکن است به کوچکی ۵ متر بر ثانیه، با انرژی‌های کم‌پتانسیل در دسترس همرفتی در مناطق حاره‌ای، و با چینش محیطی ضعف همراه باشد. در حالی که در بالاروی، انرژی پتانسیل در دسترس همرفتی در عرض‌های میانی و در محیط با چینش ضعیف، به بیش از ۴۰ متر بر ثانیه می‌رسد (Weisman & Klemp, 1986). نمونه‌های همرفت تک‌یاخته‌ای به صورت تصاویر رadar و ماهواره در شکل ۲۶ آورده شده است.

(الف)



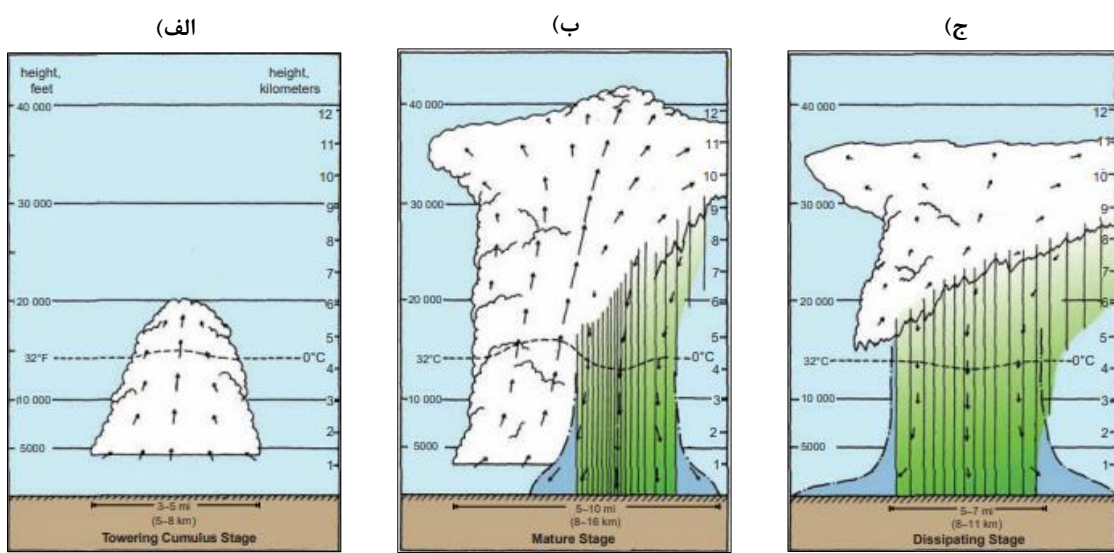
شکل(۲۶). (الف) توالی تصاویر بازتابی راداری (زاویه ارتفاع ۰.۵ درجه) از کالج ایالتی، PA در ۳۰ می از ۲۰۰۶ تا ۲۲۱۱ UTC که تکامل همرفت تک یاخته‌ای را نشان می‌دهد. (ب) تصویر ماهواره‌ای قابل مشاهده در ۲۲۳۲ UTC ۳۱ مه ۲۰۰۶ می‌تواند نشان داده شده است) در VA؛ مکان با یک ستاره در [b] نشان داده شده است) در ۰۰۰۰ UTC ۳۱ مه ۲۰۰۶ به برش باد عمودی ضعیف توجه کنید (مرتبه باد در ۰-۶ کیلومتر تقریباً  $5 \text{ ms}^{-1}$  است).

گرچه تا اینجا همرفت مرطوب ژرف به صورت تک یاخته‌ای، چندیاخته‌ای، و ابر یاخته‌ای طبقه‌بندی شده‌اند، ولی یاخته‌ها نیز به صورت معمولی یا ابر یاخته طبقه‌بندی می‌شوند. بالاروی یاخته‌های معمولی فقط توسط نیروی شناوری ایجاد می‌شوند، در صورتی که بالاروی ابری‌یاخته‌ها توسط نیروی شناوری و نیروی فشار قائم دینامیکی که هر دو از نظر بزرگی با یکدیگر قابل مقایسه هستند، ایجاد می‌شود.

جبهه جستی، سامانه‌های همرفتی چندیاخته‌ای هوا را در جانب تراز میان بالارو توسط واداشت شیو فشار دینامیکی بالا می‌برد؛ اما نیروی شناوری همچنان عامل شتاب تا تراز همرفت آزاد است. طول عمر یاخته معمولی  $T$  را می‌توان از تقسیم زمانی که طول می‌کشد تا هوا از سطح زمین تا ترازمندی فرازش یابد، بر تندی بالاروی متوسط ( $v_t$ ) به دست آورد. لازم به توضیح است که ترازمندی  $H$  برابر است با مقیاس ارتفاع جو ایجاد شده توسط فرازش که می‌توان با نسبت  $\tau = H/v_t$  که تندی ریزش حدنهایی متوسط بارشی است که به سطح زمین رسیده است، تقریب زد.

$$\tau \approx \frac{H}{\omega_0} + \frac{H}{v_t} \quad \text{رابطه (۸)}$$

در رابطه بالا  $H$  تقریباً برابر با ۱۰ کیلومتر،  $\omega_0$  تقریباً بین ۵ تا ۱۰ متر بر ثانیه،  $v_t$  تقریباً برابر با ۵ تا ۱۰ متر بر ثانیه. بر اساس این پارامترها طول عمر یک سلوی همرفتی معمولی بین ۳۰ تا ۶۰ دقیقه طول می‌کشد. چرخه عمر یاخته همرفتی معمولی با ایجاد برجک در بالای ابر کومه‌ای آغاز می‌گردد که در این مرحله فقط جریان‌های بالاسو در ابر کومه‌ای وجود دارد (شکل ۲۷).



شکل(۲۷). سه مرحله یک یاخته معمولی: (الف) مرحله کومولوس برج، (ب) مرحله بلوغ و (ج) مرحله پراکندگی. (برگرفته از Doswell, 1987 و Byers & Braham, 1949)

مرحله ایجاد برجک بر روی ابر کومهای در پی مرحله بلوغ رخ می‌دهد که با تولید قطرک‌هایی که به اندازه‌ای بزرگ هستند که می‌توانند در درون جریان‌های بالا روند ریزش کنند، آغاز می‌گردد. در این مرحله در بام ابر کومهای به شکل سندانی ظاهر می‌شود. بارش شکل گرفته توسط جریان‌های فرازش هوا در درون جریان‌های بالا سو، قبل از آنکه از جریان‌های بالا سو دور شود، در درون آن ریزش می‌کند. با ادامه روند بارگیری قطرات آب، شناوری بالا سو ضعیف می‌شود. بارش ریزش کرده و در پی تعییر این بارش، فرونژینی ایجاد می‌شود. لب پیشو از فرونژینی جبهه‌های جستی را مشخص می‌کند و سرانجام این فرونژینی، تمامی یاخته همرفتی را در بر می‌گیرد و در این زمان مرحله اتلاف آغاز می‌گردد. در طی این مرحله هوای سرد بارشی، خیلی دور از بالاروی گسترش می‌یابد و توسط نیروی شناوری قطع می‌گردد و نمی‌تواند باقی بماند. متناسب با انرژی بازدارنده همرفتی و سرعت قائم همراه با جبهه جستی، یاخته‌های جدید ممکن است توسط جبهه جستی آغاز گردد. سرانجام ابرهای قدیمی همرفتی به شکل یک سندان منفرد که سراسر آن از کریستال‌های یخی تشکیل شده است، کاهش می‌یابد و سندان به تدریج تضعیف شده و از بین می‌رود که ممکن است چندین ساعت طول بکشد. چنانچه وضع هوای مخرب رخ دهد، این مرحله معمولاً در زمانی بین مرحله بلوغ و اتلاف، یا در زمان بیشینه ریزش بارش رخ می‌دهد. احتمال وقوع باد جستی شدید هنگامی که بارش به درون لایه‌های زیرین ابر که نسبتاً خشک هستند ریزش می‌کند و همراه با سرمایش تبخیری و زایش شناوری منفی است، زیاد است.

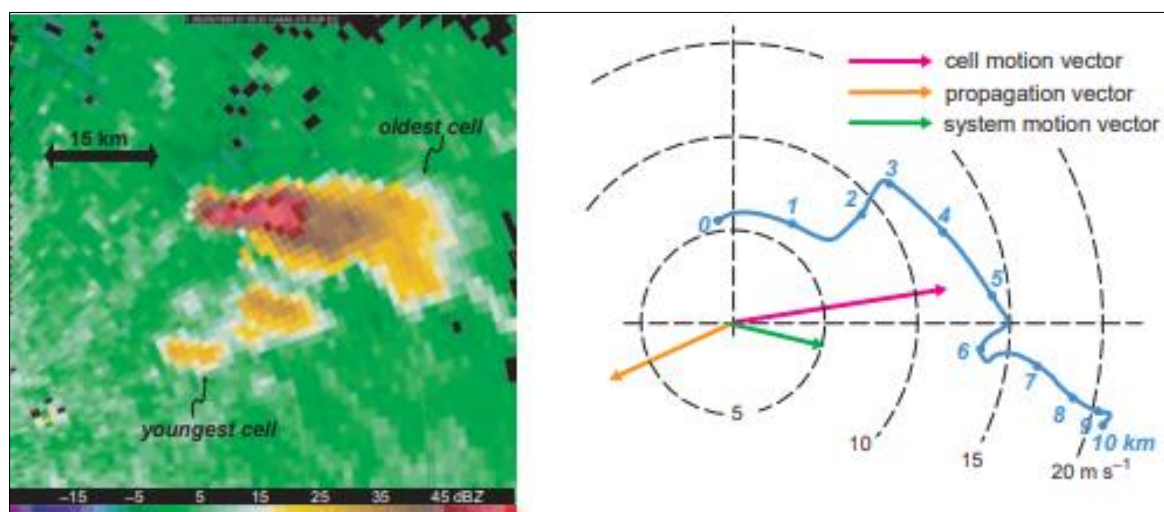
### همرفت چندیاخته‌ای

همرفت چندیاخته‌ای در عرض‌های میانی معمولاً دارای بیشترین فراوانی است (Browning, 1986). برخلاف همرفت تک‌یاخته‌ای، همرفت چندیاخته‌ای توسعه پی‌درپی یاخته‌های جدید در امتداد جبهه جستی که در آن فرازش واداشت شدید، سبب صعود بسته‌هوا تا تراز همرفت آزاد می‌گردد، ایجاد می‌شود. برخلاف این واقعیت که هر یاخته منفرد برای ۳۰ تا ۶۰ دقیقه دوام می‌آورد، ولی آغازگری عادی یاخته‌های جدید سامانه‌های همرفتی بزرگ مقیاس را که ترکیبی از یاخته‌های معمولی است، تداوم می‌بخشد. شدیدترین شکل همرفت چندیاخته‌ای می‌تواند تا چند ساعت ادامه یابد (Fovell & Dailey, 1995; Fovell & Tan, 1998) و نوارهایی از بادهای مخرب در امتداد یک خط راست همراه با تگرگ‌هایی به اندازه توب گلف ایجاد کند (Marwitz, 1972). همرفتهای چندیاخته‌ای می‌توانند با سامانه‌های میان مقیاس  $\beta$  و یا  $\alpha$  و به شکل خطوط غیر شکسته همراه باشند (شکل ۲۷ و ۲۸). هدف این بخش به مقیاس‌های کوچک‌تر همرفت چند یاخته مانند مواردی

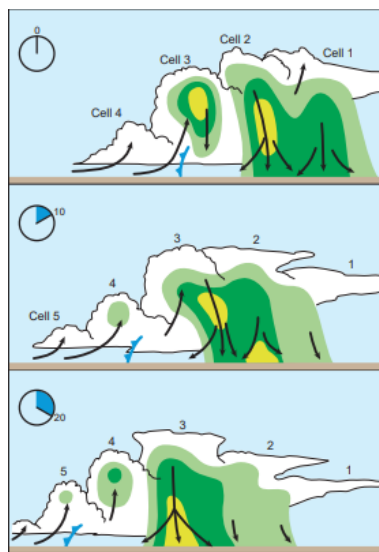
که توسط حباب‌های گرم در شبیه‌سازی‌های عددی آغاز می‌گردد، محدود می‌شود. محیط همرفت چندیاخته‌ای توسط چینش باد قائم با درجه متوسط به طوری که اختلاف سرعت باد بین ارتفاع صفر تا ۶ کیلومتر در حدود ۱۰ تا ۲۰ متر بر ثانیه باشد، ایجاد می‌شود. در این حالت انرژی پتانسیل در دسترس همرفتی به طور نسبی می‌تواند کوچک یا بزرگ باشد. شکل ۲۹ نیمرخ قائم همرفت تکوین یاخته نوعی را نشان می‌دهد. در بخش بالایی شکل، یاخته ۱ در حال وارد شدن به مرحله اتلاف است که همراه با گسترش فرونهنج است و یاخته ۲ مرحله بلوغ را نشان می‌دهد. یاخته ۳ درست در حال رسیدن به مرحله شکل‌گیری بارش است که همراه با گسترش حرکت بالاسو است. ارتفاع اولین پژواک رادار می‌تواند نشانگری از شدت بالاروی باشد، به گونه‌ای که هراندازه شدت بالاروی افزایش یابد ارتفاع اولین پژواک رادار نیز افزایش می‌یابد. یاخته ۴ در حال آغازگری فرازش به سوی تراز ترازمندیست. در بخش میانی شکل ۲۹ که تقریباً ۱۰ دقیقه بعد از بخش بالایی رخ می‌دهد، بارش‌های سنگین ناشی از یاخته ۲ به سطح زمین می‌رسد و از شدت بالاروی آن کاسته می‌شود. در این مرحله یاخته ۱ از بین رفته است. بام یاخته ۳ از تراز ترازمندی عبور کرده و دچار کاهش شتاب می‌شود و هوا را وا می‌دارد که افقی و به شکل سندان پخش شود. یاخته ۴ به توسعه ادامه می‌دهد و یاخته جدید ۵ آغاز می‌گردد. در بخش پایین شکل ۲۹ که ۱۰ دقیقه بعد رخ می‌دهد، یاخته‌های ۱ و ۲ از بین می‌روند، فرونهنج‌ها بر یاخته ۳ چیره شده و تضعیف آن آغاز می‌گردد، یاخته ۴ به تراز ترازمندی و مرحله بلوغ نزدیک می‌شود و یاخته پنجم به رسید ادامه می‌دهد. این چرخه مرتبأ تکرار می‌شود، به صورتی که یاخته ۳ جایگزین یاخته ۲، یاخته ۴ جایگزین یاخته ۳، و یاخته ۵ جایگزین یاخته ۴ می‌شود. یاخته‌های معمولی منفرد، گرایش به حرکت با سرعت باد میانگین‌گیری شده بر ژرفای آن دارد. این حرکت که شامل توسعه مجدد یاخته‌های جدید بر شاخه‌ی جلویی ارجح است، منجر به انتشار سامانه‌های چندیاخته‌ای می‌شود که می‌تواند آهسته‌تر و یا سریع‌تر از میانگین باد و اغلب در جهت‌های متفاوت با میانگین باد باشد (شکل ۲۸). بین تفاوت حرکت و انتشار باید تأمل شود. حرکت سامانه‌های چندیاخته‌ای مانند سامانه‌های همرفتی میان مقیاس، به عنوان مجموع انتشار و حرکت هر یک از سلول‌های منفرد در نظر گرفته می‌شود. حرکت هر یک از یاخته‌های منفرد با فرارفت یاخته‌ها توسط میانگین باد ژرفای رخ می‌دهد، در حالی که انتشار به حرکتی که مستقل از فرارفت باشد گفته می‌شود. گرایش بسیار شدیدی برای یاخته‌های جدید وجود دارد که در شاخه‌ی چینش پایینی خروجی جریان هوا آغاز شود؛ زیرا بالاروی توسط جبهه‌های جستی جایی که چینش محیطی بر ژرفای جریان خروجی به نقطه مخالف گردایان چگالی مرتبط با جریان‌های خروجی اشاره دارد، تشدید می‌شود (شکل ۳۰). بالاروی در شاخه‌های چینش پایین سو یا بالاسو شدید یا تضعیف می‌شود زیرا آن‌ها جایی هستند که تاوایی افقی تولیدشده از کژ فشاری با تاوایی افقی مرتبط با چینش باد قائم ترازهای زیرین محیط موافقت یا مخالفت می‌کند. بسته‌هوا بالارو یافته توسط این بخش از جبهه جستی دارای شانس بسیار زیادی برای رسیدن به تراز LFC دارد (شکل ۳۰). بر عکس آن، جائی که شارش خروجی محیطی، تاوایی افقی کسب می‌کند جهت یکسانی هستند، جریان بالارو در امتداد جبهه جستی کم‌عمق درون شارش و برون‌شارش برای مقادیر کوچک عدد ریچارسون کپهای (کمتر از ۵۰۰)، گرایش به هماهنگی نسبی خوبی با هم دارند و منجر به تداوم و شدت بیشتر طوفان‌ها می‌شوند.



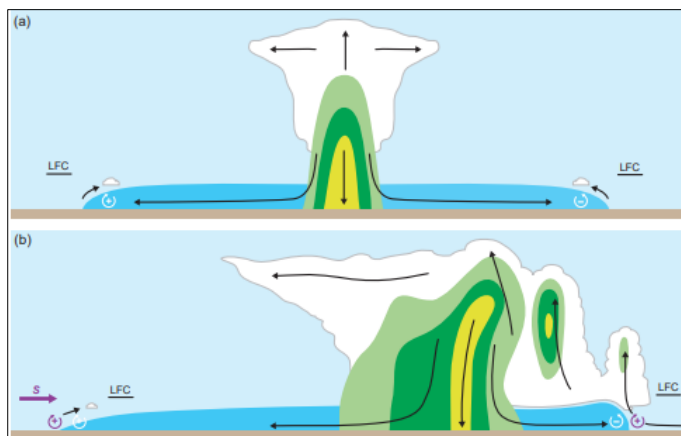
شکل(۲۷). عکس از یک خوشه طوفان تندری چند سلولی. جریان‌های صعودی جدید در سمت چپ و قدیمی اعمال می‌شوند، جریان‌های صعودی پراکنده در سمت راست قرار دارند. عکس از آل مولر.



شکل(۲۸). همرفت چند سلولی در ۲۰ مه ۱۹۹۹ (چپ). هودوگراف به دست آمده از نیمرخ باد واقع در حدود ۱۰۰ کیلومتری شرق همرفت در OK.Vici. بزرگی اختلاف بردار باد در ۶–۲۰ کیلومتر ۱۶ متر بر ثانیه است. بردارهایی که حرکت سلول، انتشار و حرکت کلی سیستم را نشان می‌دهند نیز نشان داده شده‌اند. بدیهی است که انتشار (به سمت جنوب غربی) در جهت پرش سطح پایین (به سمت شرق) نبوده است؛ بنابراین، به نظر می‌رسد انتشار مشاهده شده نتیجه ناهمگونی محیطی باشد (به عنوان مثال، برهمکنش با خط خشکی که در وهله اول مسئول شروع همرفت بود، یا شاید تغییرات CIN).



شکل (۲۹). شماتیک تکامل همرفت چندیاخته‌ای، (برگرفته از Doswell, 1987).



شکل (۳۰). مقایسه صعود توسط جبهه جستی در (الف) محیط بدون برش تکیاخته و (ب) محیط چندیاخته با برش متوسط (برش غربی است). باران و تگرگ با سایه‌های سبز و زرد نشان داده می‌شوند. جریان خروجی که با تبخیر خنک می‌شود به رنگ آبی تیره است. ابر سفید است. برخی از خطوط جریان منتخب مرتبط با طوفان به صورت فلش‌های سیاه نشان داده می‌شوند. در (ب) تاوایی افقی مرتبط با برش باد عمودی محیطی با فلش‌های دایره بنشن نشان داده شده است. بعلاوه، اصلاح عمق و شبیه بخش‌های پیشرو حوضجه سرد با برهمکنش آن با برش محیطی، همراه با تأثیر بر ماهیت صعود در امتداد جبهه جستی، نیز منعکس شده است. قله‌های خروجی غربی و شرقی در (ب) با یکدیگر و با (الف) مقایسه کنید.

هوای افقی شتابدار لایه زیرین، سبب انتقال بیشتر ذرات آب دار به درون لایه‌ی آمیختگی شده و در مسیر جریان قائم همراه با جریان‌های بالاسو به درون ابر انتقال می‌یابد. در نتیجه، سبب بزرگی ذرات بارش می‌گردد و همراه با آن، میدان باد نسبی طوفان در سرتاسر مسیری که بارش بر روی زمین ریزش می‌کند، افزایش می‌یابد. وجود توسعه گرادیان فشار قائم دینامیکی می‌تواند نقش مهمی در تشدید همرفت مرطوب ژرف داشته باشد.

### نتیجه‌گیری

درون شارش و برون‌شارش برای مقادیر کوچک عدد ریچارسون کپهای (کمتر از ۵۰۰) گرایش به هماهنگی نسبی خوبی با هم دارند و منجر به تداوم و شدت بیشتر طوفان‌ها می‌شوند. هوای شتابدار افقی لایه زیرین سبب انتقال بیشتر ذرات آب دار

و انرژی به درون لایه‌ی آمیختگی شده و در مسیر جریان قائم، همراه با جریان‌های بالاسو به درون ابر انتقال می‌یابد و در نتیجه، سبب بزرگی ذرات بارش و شدت باد در سطح زمین می‌گردد و همراه با آن میدان باد نسبی طوفان در سرتاسر مسیر افزایش می‌یابد. توسعه گرادیان فشار قائم دینامیکی می‌تواند نقش مهمی در تشدید همرفت مرطوب ژرف داشته باشد.

### منابع

- Arnott, N. R., Richardson, Y. P., Wurman, J. M., & Rasmussen, E. M. (2006). Relationship between a weakening cold front, mesocyclones, and cloud development on 10 June 2002 during IHOP. *Monthly weather review*, 134(1), 311-335. <https://doi.org/10.1175/MWR3065.1>
- Atkins, N. T., Wakimoto, R. M., & Weckwerth, T. M. (1995). Observations of the sea-breeze front during CaPE. Part II: Dual-Doppler and aircraft analysis. *Monthly weather review*, 123(4), 944-969.
- Banacos, P. C., & Schultz, D. M. (2005). The use of moisture flux convergence in forecasting convective initiation: Historical and operational perspectives. *Weather and Forecasting*, 20(3), 351-366. <https://doi.org/10.1175/WAF858.1>
- Brooks, H. E., Doswell III, C. A., & Davies-Jones, R. (1993). Environmental helicity and the maintenance and evolution of low-level mesocyclones. *Geophysical Monograph Series*, 79, 97-104. [10.1029/GM079p0097](https://doi.org/10.1029/GM079p0097).
- Browning, K. A. (1986). Morphology and classification of middle latitude thunderstorms. *Thunderstorm Morphology and Dynamics*, E. Kessler, Ed. 2nd edn. University of Oklahoma Press, 133–152.
- Byers, H. R., & Braham, R. R. (1949). *The thunderstorm: report of the Thunderstorm Project*. US Government Printing Office.
- Crook, N. A., & Klemp, J. B. (2000). Lifting by convergence lines. *Journal of the atmospheric sciences*, 57(6), 873-890. [https://doi.org/10.1175/1520-0469\(2000\)057<0873:LBCL>2.0.CO;2](https://doi.org/10.1175/1520-0469(2000)057<0873:LBCL>2.0.CO;2)
- Doswell III, C. A. (1987). The distinction between large-scale and mesoscale contribution to severe convection: A case study example. *Weather and Forecasting*, 2(1), 3-16. [https://doi.org/10.1175/1520-0434\(1987\)002<0003:TDBLSA>2.0.CO;2](https://doi.org/10.1175/1520-0434(1987)002<0003:TDBLSA>2.0.CO;2)
- Doswell III, C. A. (2001). Severe convective storms—An overview. *Severe convective storms*, 1-26. [https://doi.org/10.1007/978-1-935704-06-5\\_1](https://doi.org/10.1007/978-1-935704-06-5_1)
- Droegemeier, K. K., & Wilhelmson, R. B. (1985). Three-dimensional numerical modeling of convection produced by interacting thunderstorm outflows. Part I: Control simulation and low-level moisture variations. *Journal of the atmospheric sciences*, 42(22), 2381-2403. [https://doi.org/10.1175/1520-0469\(1985\)042<2381:TDNMOC>2.0.CO;2](https://doi.org/10.1175/1520-0469(1985)042<2381:TDNMOC>2.0.CO;2)
- Farrell, R. J., & Carlson, T. N. (1989). Evidence for the role of the lid and underrunning in an outbreak of tornadic thunderstorms. *Monthly Weather Review*, 117(4), 857-871. [https://doi.org/10.1175/1520-0493\(1989\)117<0857:EFTROT>2.0.CO;2](https://doi.org/10.1175/1520-0493(1989)117<0857:EFTROT>2.0.CO;2)
- Fovell, R. G., & Dailey, P. S. (1995). The temporal behavior of numerically simulated multicell-type storms. Part I. Modes of behavior. *Journal of Atmospheric Sciences*, 52(11), 2073-2095. [https://doi.org/10.1175/1520-0469\(1995\)052<2073:TTBONS>2.0.CO;2](https://doi.org/10.1175/1520-0469(1995)052<2073:TTBONS>2.0.CO;2)
- Fovell, R. G., & Ogura, Y. (1989). Effect of vertical wind shear on numerically simulated multicell storm structure. *Journal of Atmospheric Sciences*, 46(20), 3144-3176. [https://doi.org/10.1175/1520-0469\(1989\)046<3144:EOVWSO>2.0.CO;2](https://doi.org/10.1175/1520-0469(1989)046<3144:EOVWSO>2.0.CO;2)
- Fovell, R. G., & Tan, P. H. (1998). The temporal behavior of numerically simulated multicell-type storms. Part II: The convective cell life cycle and cell regeneration. *Monthly Weather Review*, 126(3), 551-577. [https://doi.org/10.1175/1520-0493\(1998\)126<0551:TTBONS>2.0.CO;2](https://doi.org/10.1175/1520-0493(1998)126<0551:TTBONS>2.0.CO;2)
- Johnson, R. H., & Mapes, B. E. (2001). Mesoscale processes and severe convective weather. In *Severe convective storms* (pp. 71-122). Boston, MA: American Meteorological Society. [https://doi.org/10.1007/978-1-935704-06-5\\_3](https://doi.org/10.1007/978-1-935704-06-5_3)

- Jorgensen, D. P., & Weckwerth, T. M. (2003). Forcing and organization of convective systems. *Meteorological Monographs*, 30(52), 75-103. [https://doi.org/10.1175/0065-9401\(2003\)030<0075:FAOOCS>2.0.CO;2](https://doi.org/10.1175/0065-9401(2003)030<0075:FAOOCS>2.0.CO;2)
- Kingsmill, D. E. (1995). Convection initiation associated with a sea-breeze front, a gust front, and their collision. *Monthly weather review*, 123(10), 2913-2933. [https://doi.org/10.1175/1520-0493\(1995\)123<2913:CIAWAS>2.0.CO;2](https://doi.org/10.1175/1520-0493(1995)123<2913:CIAWAS>2.0.CO;2)
- Koch, S. E. (1984). The role of an apparent mesoscale frontogenetic circulation in squall line initiation. *Monthly weather review*, 112(10), 2090-2111. [https://doi.org/10.1175/1520-0493\(1984\)112<2090:TROAAM>2.0.CO;2](https://doi.org/10.1175/1520-0493(1984)112<2090:TROAAM>2.0.CO;2)
- Markowski, P., Hannon, C., & Rasmussen, E. (2006). Observations of convection initiation “failure” from the 12 June 2002 IHOP deployment. *Monthly weather review*, 134(1), 375-405. <https://doi.org/10.1175/MWR3059.1>
- Marwitz, J. D. (1972). The structure and motion of severe hailstorms. Part II: Multi-cell storms. *Journal of Applied Meteorology (1962-1982)*, 180-188. <https://www.jstor.org/stable/26175559>
- Richardson, Y. P., Droege, K. K., & Davies-Jones, R. P. (2007). The influence of horizontal environmental variability on numerically simulated convective storms. Part I: Variations in vertical shear. *Monthly weather review*, 135(10), 3429-3455. <https://doi.org/10.1175/MWR3463.1>
- Schaefer, J. T., Hoxit, L. R., & Chappell, C. F. (1985). Thunderstorms and their mesoscale environment. *Thunderstorm morphology and dynamics*, 113-130.
- Weckwerth, T. M., & Parsons, D. B. (2006). A review of convection initiation and motivation for IHOP\_2002. *Monthly Weather Review*, 134(1), 5-22. <https://doi.org/10.1175/MWR3067.1>
- Weckwerth, T. M., Wilson, J. W., & Wakimoto, R. M. (1996). Thermodynamic variability within the convective boundary layer due to horizontal convective rolls. *Monthly Weather Review*, 124(5), 769-784. [https://doi.org/10.1175/1520-0493\(1996\)124<0769:TVWTCB>2.0.CO;2](https://doi.org/10.1175/1520-0493(1996)124<0769:TVWTCB>2.0.CO;2)
- Weisman, M. L., & Klemp, J. B. (1984). The structure and classification of numerically simulated convective storms in directionally varying wind shears. *Monthly weather review*, 112(12), 2479-2498. [https://doi.org/10.1175/1520-0493\(1984\)112<2479:TSACON>2.0.CO;2](https://doi.org/10.1175/1520-0493(1984)112<2479:TSACON>2.0.CO;2)
- Weisman, M. L., & Klemp, J. B. (1986). Characteristics of isolated convective storms. In *Mesoscale meteorology and forecasting* (pp. 331-358). Boston, MA: American Meteorological Society. [https://doi.org/10.1007/978-1-935704-20-1\\_15](https://doi.org/10.1007/978-1-935704-20-1_15)
- Wilson, J. W., & Schreiber, W. E. (1986). Initiation of convective storms at radar-observed boundary-layer convergence lines. *Monthly Weather Review*, 114(12), 2516-2536. [https://doi.org/10.1175/1520-0493\(1986\)114<2516:IOCSAR>2.0.CO;2](https://doi.org/10.1175/1520-0493(1986)114<2516:IOCSAR>2.0.CO;2)
- Wilson, J. W., Foote, G. B., Crook, N. A., Fankhauser, J. C., Wade, C. G., Tuttle, J. D., ... & Krueger, S. K. (1992). The role of boundary-layer convergence zones and horizontal rolls in the initiation of thunderstorms: A case study. *Monthly weather review*, 120(9), 1785-1815. [https://doi.org/10.1175/1520-0493\(1992\)120<1785:TROBL>2.0.CO;2](https://doi.org/10.1175/1520-0493(1992)120<1785:TROBL>2.0.CO;2)
- Yang, M. J., & Houze, R. A. (1995). Multicell squall-line structure as a manifestation of vertically trapped gravity waves. *Monthly weather review*, 123(3), 641-661. [https://doi.org/10.1175/1520-0493\(1995\)123<0641:MSLSAA>2.0.CO;2](https://doi.org/10.1175/1520-0493(1995)123<0641:MSLSAA>2.0.CO;2)
- Ziegler, C. L., & Rasmussen, E. N. (1998). The initiation of moist convection at the dryline: forecasting issues from a case study perspective. *Weather and forecasting*, 13(4), 1106-1131. [https://doi.org/10.1175/1520-0434\(1998\)013<1106:TIOMCA>2.0.CO;2](https://doi.org/10.1175/1520-0434(1998)013<1106:TIOMCA>2.0.CO;2)
- Ziegler, C. L., Lee, T. J., & Pielke Sr, R. A. (1997). Convective initiation at the dryline: A modeling study. *Monthly weather review*, 125(6), 1001-1026. [https://doi.org/10.1175/1520-0493\(1997\)125<1001:CIATDA>2.0.CO;2](https://doi.org/10.1175/1520-0493(1997)125<1001:CIATDA>2.0.CO;2)